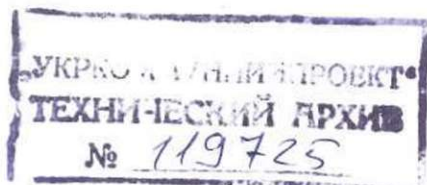


основан в 1944 г.



Украинский проектный  
и научно-исследовательский институт  
коммунальных сооружений городов  
"УКРКОММУННИИПРОЕКТ"



Ядерная установка «Источник нейтронов, основанный на подкритической сборке, управляемой линейным ускорителем электронов». Площадка ННЦ ХФТИ ул. Академическая, 1 пос. Пятихатки Северная ок-  
раина г. Харькова, Украина

ПРОЕКТ

ОЦЕНКА ВОЗДЕЙСТВИЯ НА ОКРУЖАЮЩУЮ  
СРЕДУ (ОВОС)

8590 – ОВОС

г. Харьков

2011г.





Настоящий рабочий проект разработан в соответствии с действующими нормами  
правилами проектирования по состоянию на 31 мая 2011 г.

Главный инженер проекта



В. Е. Голец

Инв. № подл. Подп. и дата. Взаи. инв. №

Изм.	Кол.чч	Лист	№ док.	Подп.	Дата

8590-ОВОС

Лист  
2

## Содержание

		стр.
1	ОБЩИЕ ПОЛОЖЕНИЯ	6
1.1	Цель ОВОС	6
1.2	Материалы ОВОС	6
1.3	Основные задачи ОВОС	6
2	ОСНОВАНИЯ ДЛЯ ПРОВЕДЕНИЯ ОВОС	7
2.1	Сведения о документах, которые являются основанием для разработки материалов ОВОС	7
2.2	Перечень источников потенциального воздействия планируемой деятельности	7
2.3	Перечень экологических, санитарно-эпидемиологических, противопожарных и градостроительных ограничений	8
2.4	Данные по отношению общественности и других заинтересованных сторон к планируемой деятельности	8
2.5	Перечень использованных нормативно-методических документов	8
2.6	Перечень и краткий анализ предшествующих экспертиз, включая и общественную экспертизу	11
2.7	Перечень источников информации, использованных при разработке материалов ОВОС	11
2.8	Описание методов прогнозирования динамики показателей окружающей среды и обоснование расчетных методов прогноза	12
3	<b>ФИЗИКО-ГЕОГРАФИЧЕСКИЕ ОСОБЕННОСТИ РАЙОНА И ПЛОЩАДКИ РАЗМЕЩЕНИЯ ОБЪЕКТА СТРОИТЕЛЬСТВА</b>	13
4	<b>ОБЩАЯ ХАРАКТЕРИСТИКА ОБЪЕКТА ПРОЕКТИРОВАНИЯ И ХОЗЯЙСТВЕННОЙ ДЕЯТЕЛЬНОСТИ В ЗОНЕ ЕГО ВЛИЯНИЯ</b>	14
4.1	Общая характеристика планируемой деятельности и ее альтернативы	14
4.2	Оценка вероятных аварийных ситуаций и их последствия	15
4.3	Данные о размерах строительной площадки, краткая характеристика производства и классы его опасности.	15
4.4	Данные о сырьевых, земельных, водных, энергетических и прочих ресурсах	16
4.5	Краткое описание технологического процесса планируемой деятельности	16
4.6	Оценка возможности возникновения аварийных ситуаций	

Инв. № подл.	Взлп. инв. №	Подп. и дата					<b>8590-ОВОС</b>	Лист
							3	
Изм.	Кол.уч	Лист	№ док.	Подп.	Дата			

		33
4.7	Перечень потенциальных объектов воздействия на окружающую среду и границы зоны их влияния на период строительства	34
4.8	Образование и утилизация отходов	34
5	<b>ОЦЕНКА ВОЗДЕЙСТВИЯ ПЛАНИРУЕМОЙ ДЕЯТЕЛЬНОСТИ НА ОКРУЖАЮЩУЮ ПРИРОДНУЮ СРЕДУ</b>	35
5.1	Климат и микроклимат	35
5.2	Воздушная среда	36
5.2.1	Влияние работы ИЯУ в процессе эксплуатации на воздушную среду.	36
5.2.2	Обоснование нормативной санитарно-защитной зоны (ССЗ).	38
5.2.3	Методы и средства контроля за состоянием воздушного бассейна	40
5.2.4	Мероприятия по регулированию выбросов при неблагоприятных метеорологических условиях (НМУ)	42
5.3	Нормы радиационной безопасности Украины (НРБУ-97)	44
5.3.1	Радиационно-гигиенические нормы.	44
5.3.2	Источники ионизирующего излучения	45
5.3.3	Биологическая защита	45
5.3.4	Факторы радиационной опасности	51
5.3.5	Факторы радиационной опасности	52
5.3.6	Радиационные аварии, сопровождающиеся радиоактивным загрязнением промплощадки и окружающей природной среды	61
5.3.7	Обеспечение радиозэкологической безопасности населения	69
5.3	Геологическая среда	76
5.4	Почвенный покров	77
5.5	Водная среда	79
5.5.1	Защита подземных вод	79
5.6	Растительный и животный мир, заповедные объекты	80
6	<b>ОЦЕНКА ВОЗДЕЙСТВИЯ ПЛАНИРУЕМОЙ ДЕЯТЕЛЬНОСТИ НА ОКРУЖАЮЩУЮ СОЦИАЛЬНУЮ СРЕДУ</b>	81
7	<b>ОЦЕНКА ВОЗДЕЙСТВИЯ ПЛАНИРУЕМОЙ ДЕЯТЕЛЬНОСТИ НА ОКРУЖАЮЩУЮ ТЕХНОГЕННУЮ СРЕДУ</b>	82
8	<b>КОМПЛЕКСНЫЕ МЕРОПРИЯТИЯ ПО ОБЕСПЕЧЕНИЮ НОРМАТИВНОГО СОСТОЯНИЯ ОКРУЖАЮЩЕЙ СРЕДЫ И ЭКОЛОГИЧЕСКОЙ БЕЗОПАСНОСТИ</b>	83
8.1	Оценка риска планируемой деятельности относительно природной, социальной, и техногенной среды	84
9	<b>ОЦЕНКА ВОЗДЕЙСТВИЯ НА ОКРУЖАЮЩУЮ СРЕДУ ПРИ</b>	87

Инв. № подл.	Подп. и дата	Взаш. инв. №							Лист
			8590-ОВОС						
Изм.	Кол.уч	Лист	№ док.	Подп.	Дата			Формат А4	

СТРОИТЕЛЬСТВЕ.

Заявление об экологических последствиях деятельности  
 Исследовательской ядерной установки «Источник нейтронов,  
 10 основанный на подкритической сборке управляемой линейным 91  
 ускорителем электронов» в ННЦ ХФТИ по ул. Академической, 1 в г.  
 Харькове

ПРИЛОЖЕНИЯ 96

Инв. № подл.	Подп. и дата	Взлп. инв. №					8590-ОВОС	Лист
			Изм.	Кол.уч	Лист	№ док.		Подп.

# 1. ОБЩИЕ ПОЛОЖЕНИЯ

## 1.1. Цель ОВОС

Целью ОВОС является определение целесообразности и приемлемости планируемой деятельности и обоснование экономических, технических, организационных, санитарных, государственно-правовых и других мероприятий по обеспечению безопасности окружающей среды.

## 1.2. Материалы ОВОС

Материалы ОВОС предоставляются в составе проектной документации уполномоченным государственным органам для экспертной оценки и должны всесторонне характеризовать результаты оценки воздействий на природную, социальную, включая жизнедеятельность населения, и техногенную среду (далее - окружающую среду) и обосновывать допустимость планируемой деятельности.

## 1.3 Основные задачи ОВОС

Основными задачами ОВОС являются:

- общая характеристика существующего состояния территории района и площадки исследовательской ядерной установки (ИЯУ);
- рассмотрение и оценка экологических, социальных и техногенных факторов, санитарно-эпидемической ситуации конкурентно-возможных альтернатив (в том числе технологических и территориальных) планируемой деятельности и обоснование преимуществ выбранной альтернативы и варианта размещения;
- определение перечня возможных экологически опасных воздействий (далее - воздействий) и зон влияний планируемой деятельности на окружающую среду по вариантам размещения (если рекомендуется дальнейшее рассмотрение нескольких);
- определение масштабов и уровней воздействий планируемой деятельности на окружающую среду;
- прогноз изменений состояния окружающей среды соответственно перечню воздействий;
- определение комплекса мероприятий по предупреждению или ограничению опасных воздействий планируемой деятельности на окружающую среду, необходимых для соблюдения требований природоохранного и санитарного законодательства и других законодательных и нормативных документов, которые касаются безопасности окружающей среды;

Инв. № подл.	Подп. и дата	Взап. инв. №							Лист
			8590-ОВОС						
Изм.	Кол.уч	Лист	№ док.	Подп.	Дата				





Загрязняющие вещества, выбрасываемые в атмосферу: азота оксиды, озон и изотопы кислорода N<sub>13</sub> и кислорода O<sub>15</sub>.

### 2.3 Перечень экологических, санитарно-эпидемиологических, противопожарных и градостроительных ограничений

Противопожарных и градостроительных ограничений экологических, санитарно-эпидемиологических ограничений для проектируемой установки нет. Ограничения радиационной безопасности указаны в «Загальних положеннях безпеки ядерної підкритичної установки», выданной Государственной инспекцией ядерного регулирования Украины

### 2.4. Данные по отношению общественности и других заинтересованных сторон к планируемой деятельности

Общественность и другие заинтересованные стороны могут узнать о проектируемой деятельности в интернете на сайте ННЦ ХФТИ <http://www.kipt.kharkov.ua> и Государственной инспекции ядерного регулирования Украины <http://www.snrc.gov.ua>.

### 2.5 Перечень использованных нормативно-методических документов

Оценка воздействия на окружающую среду была выполнена в соответствии со следующими методическими и нормативными документами:

1. Закон Украины «Об охране окружающей среды» от 25.06.91 г.;
2. Закон Украины «Об экологической экспертизе»;
3. Постановление Кабинета Министров Украины от 27.07.95г. №554 «Про перелік видів діяльності та об'єктів, що становлять підвищену екологічну небезпеку»;
4. Закон Украины «Про забезпечення санітарного та епідемічного благополуччя населення» №4004 от 24.02.94г.;
5. Закон Украины «Про охорону атмосферного повітря», утвержденный постановлением ВР №2708-ХН от 16.10.92г.;
6. ГОСТ 17.2.1.03-84. Охрана природы. Атмосфера. Термины и определения контроля загрязнения;
7. ГОСТ 27632-88 "Ускорители заряженных частиц промышленного применения. Общие технические требования".

Инв. № подл.	Взаш. инв. №	Подп. и дата							Лист
			8590-ОВОС						
Изм.	Кол.уч	Лист	№ док.	Подп.	Дата				

8. РД 52.04.52-85. Методические указания по регулированию выбросов при неблагоприятных метеорологических условиях. - Л.: Гидрометеиздат, 1987.
9. Гігієнічні вимоги поводження з промисловими відходами та визначення їх класу небезпеки для здоров'я населення. ДСанПін 2.2.7. 029-99 .
10. Рекомендации по подготовке оценки воздействия на окружающую среду (письмо Госкомприроды СССР от 16.12.89г. № 06-11-371).
11. Инструкция по нормированию выбросов (сбросов) загрязняющих веществ в атмосферу и в водные объекты.- М.: Издательство ВНИИОВ, 1989
12. ГОСТ 17.2.3.02-78. Охрана природы. Атмосфера. Правила установления допустимых выбросов вредных веществ промышленными предприятиями;
13. ДБН А.2.2-1-2003 «Состав и содержание материалов оценки воздействия на окружающую среду (ОВОС) при проектировании зданий и сооружений»;
14. Державні санітарні правила охорони атмосферного повітря населених місць (від забруднення хімічними і біологічними речовинами). ДСП- 201-97. Київ- 1997р.;
15. «Державні санітарні правила планування та забудови населених пунктів» від 19.06.1996г. №173;
16. ГОСТ 17.1.1.03-86. Охрана природы. Гидросфера. Классификация водопользований;
17. ГОСТ 17.01.3.05-82. Охрана природы. Гидросфера. Общие требования к охране поверхностных и подземных вод от загрязнения нефтью и нефтепродуктами;
18. ГОСТ 17.4.1.02-83. Охрана природы. Почвы. Классификация химических веществ для контроля загрязнения;
19. ГОСТ 17.4.1.03-84. Охрана природы. Почвы. Термины и определения химического загрязнения;
20. ГОСТ 17.4.2.01-81. Охрана природы. Почвы. Номенклатура показателей санитарного состояния;
21. ГОСТ 12.1.003-83. ССБТ. Шум. Общие требования безопасности;
22. ГОСТ 12.1.006-84. ССТБ. Электромагнитные поля радиочастот. Допустимые уровни на рабочих местах и требования к проведению контроля;

Инв. № подл.	Подп. и дата	Взлп. инв. №							Лист
			8590-ОВОС						
Изм.	Кол.уч	Лист	№ док.	Подп.	Дата				

23. ГОСТ 12.1.002-84. ССТБ. Электрические поля промышленной частоты. Допустимые уровни напряженности и требования к проведению контроля на рабочих местах;
24. СН №2963-84. Временные санитарные нормы и правила защиты населения от воздействия электромагнитных полей, создаваемых радиотехническими объектами;
25. ДБН А.2.2-3-2003. «Проектування, склад, порядок розроблення, погодження та затвердження проектно-кошторисної документації для будівництва»;
26. ДБН 360-92. Градостроительство. Планировка и застройка городских и сельских поселений;
27. «Инструкция. Установление допустимых выбросов вредных веществ в атмосферу, предприятиями Минтранса УССР». РД 238 УССР 84001- 106-89. Министерство транспорта УССР, Киев, 1989;
28. РД 52.04.52-85. Методические указания по регулированию выбросов при неблагоприятных метеорологических условиях. - Л: Гидрометеиздат, 1987;
29. Предельно допустимые концентрации (ПДК) и ориентировочно безопасные уровни воздействия загрязняющих веществ (ОБУВ) в атмосферном воздухе населенных мест. Донецк - 2000г;
30. Справочник проектировщика. Защита от шума. М.: Стройиздат, 1974 г.;
31. СНиП II 12-77. Нормы проектирования. Защита от шума;
32. Каталог шумовых характеристик технологического оборудования (к СНиП II 12-77);
33. Посібник до розроблення матеріалів оцінки впливу на навколишнє природне середовище (до ДБН А.2.2-3-2003). Харків 2003;
34. СП №3077-84 «Санитарные нормы допустимого шума на территории жилой застройки»;
35. "Справочник по защите от шума и вибрации жилых и общественных зданий" под ред. д-ра техн. наук В.И. Заборова. Киев, 1989;
36. Наказ №286 від 30.07.2001 р. «Про затвердження порядку визначення величин фонових концентрації забруднюючих речовин в атмосферному повітрі». (Зареєстровано в Міністерстві Юстиції України 15 августа 2001г. под №700/5891);

Взап. инв. №	Подп. и дата	Инв. № подл.							Лист
			8590-ОВОС						
			Изм.	Кол.уч	Лист	№ док.	Подп.	Дата	

37. Руководство по аналитическому контролю газовых выбросов в атмосферу производств товаров бытовой химии. Сборник методик. Союзбытхим. Москва - 1985г;
38. Инструкция о порядке рассмотрения, согласования и экспертизы воздухоохраных мероприятий и выдачи разрешения на выбросы загрязняющих веществ в атмосферу по проектным решениям. ОНД 1-84, Госкомгидромет;
39. Изменение 1 к ДБН А.2.2-1-2003 «Состав и содержание материалов оценки воздействия на окружающую среду (ОВОС) при проектировании зданий и сооружений» от 2010 г.;
40. ОНД-86. Методика расчета концентраций в атмосферном воздухе вредных веществ, содержащихся в выбросах предприятий. - Л.: Гидрометеоздат, 1987.
41. Методические указания по определению вредных веществ в сварочном аэрозоле (твердая фаза и газы), утв. Минздравом СССР 22.12.88 г. № 4945-88, МП Парог Москва, 1992 г.
42. Коваленко Г.Д. Радиоэкология Украины: Монография. – 2-е изд., перераб. и доп. – Х: ИД «Инжэк», 2008. – 264 с.
43. ДБН А.2.1-1-2008 «Інженерні вишукування для будівництва», Київ, Мінрегіонбуд України 2008
44. СП 11-102-97 «Инженерно-экологические изыскания для строительства». Разработан ПНИИИС, ГО "Росстройизыскания", Научно-производственным центром "Ингеодин", НИИ строительной физики Российской академии архитектуры и строительных наук, НППП "ВНИИЯГГ" Министерства природных ресурсов Российской Федерации, ТОО "ЛЕНТИСИЗ".

## 2.6 Перечень и краткий анализ предшествующих экспертиз, включая и общественную экспертизу.

Заказчиком не предоставлены согласования.

## 2.7 Перечень источников информации, использованных при разработке материалов ОВОС

Материалы инженерно-геологических изысканий территории ННЦ ХФТИ, выполненные АО «УкркоммунНИИпроект», в 2011г.

Инв. № подл.	Подп. и дата	Взаи. инв. №							Лист
			8590-ОВОС						
Изм.	Кол.уч	Лист	№ док.	Подп.	Дата				

Инженерно-геодезические изыскания, выполненные АО «УкркоммунНИИпроект» в 2011 г.

## 2.8 Описание методов прогнозирования динамики показателей окружающей среды и обоснование расчетных методов прогноза

Объектами охраны природы в границах осваиваемой территории являются: атмосфера, почва, поверхностные воды, подземные воды и окружающий ландшафт.

Прогнозная проектная оценка (П) состояния окружающей природной среды определяется как сумма (суперпозиция  $P=\Phi+0$ ) прогнозной фоновой оценки и оценки влияния проектируемого объекта.

Прогнозирование может осуществляться по аналогии, аналитическими методами и математическим моделированием.

Прогноз влияния проектируемой деятельности на состояние поверхностных вод складывается из прогноза изменений гидрологических, гидравлических и морфометрических параметров водных объектов, прогноза количественных изменений баланса водных ресурсов, прогноза изменений качества воды, прогноза изменений биотических компонентов водных экосистем и биопродуктивности, прогноза изменений санитарно-токсикологической и паразитологической ситуации.

Для проектируемых объектов, являющихся объектами повышенной опасности, прогноз выполняется аналитическим методом.

Источники загрязнения почвы, поверхностных, подземных вод на проектируемом объекте отсутствуют.

До проектируемой деятельности приземные концентрации на границе ближайших жилых домов составляли  $0,064 \text{ мг/м}^3$  по озону и  $0,06 \text{ мг/м}^3$  по азота оксиду согласно [36].

Еженедельно проводится измерение мощности дозы излучения на территории промплощадки и на территории жилого района Пятихатки. Все полученные значения находятся на уровне естественного радиационного фона.

В результате ввода в работу источника нейтронов, основанного на подкритической сборке, управляемой линейным ускорителем электронов на территории ННЦ ХФТИ по ул. Академической, 1 в г. Харькове максимальные приземные концентрации на границе ближайших жилых домов составят более 1,0 ПДК с учетом фона по всем ингредиентам, что удовлетворяет санитарным и экологическим требованиям.

Уровень мощности дозы излучения после ввода проектируемого источника нейтронов останется на уровне естественного радиационного фона.

Инв. № подл.	Подп. и дата	Взап. инв. №							Лист
			Изм.	Кол.уч	Лист	№ док.	Подп.	Дата	

8590-ОВОС

### 3. ФИЗИКО-ГЕОГРАФИЧЕСКИЕ ОСОБЕННОСТИ РАЙОНА И ПЛОЩАДКИ РАЗМЕЩЕНИЯ ОБЪЕКТА СТРОИТЕЛЬСТВА

В административном отношении участок размещения проектируемого источника нейтронов находится в пос. Пятихатки, ул. Астрономическая, 1 северная окраина г. Харькова на территории ННЦ ХФТИ.

Участок строительства расположен на северной окраине г. Харькова, в поселке Пятихатки.

Естественная поверхность площадки изменена инженерной подготовкой, абсолютные отметки поверхности (по устьям скважин) колеблются в пределах 197,35-199,30м.

В геоморфологическом отношении территория расположена на водно-ледниковой лессовой равнине, расчлененной оврагами и балками на докембрийской платформе, в пределах иванковской террасы.

Климат района умеренно-континентальный с частыми оттепелями зимой, дружной весной и жарким летом. Самый холодный месяц-январь, со среднемесячной температурой - 7,9°С.

Минимальная температура наблюдалась до -37°С.

Самый теплый месяц – июль, со среднемесячной температурой 20,8°С, максимальная температура в июле +39°С. Среднегодовая температура +6,8°С.

Среднегодовая сумма осадков составляет 490-520мм, с колебаниями от 325 до 819мм, из них 70% приходится на теплый период.

Безморозный период 145-155дней.

Преобладающими ветрами являются: в зимний период- восточного и юго-восточного направления, со средней скоростью 4,6-5,0 м/сек, в летний период – северного и северо-западного направлений, со средней скоростью 4,3-4,4 м/сек.

Нормативная глубина сезонного промерзания грунта 1,1м.

Согласно СНиП 2.01.01-82 климатическая зона II – В.

Участок расположен в пределах лесостепной зоны между линиями годового стока, равного от 70 до 80мм.

Залесенность от 10 до 50%. Леса – сосново-дубовые.

Почвы оподзоленные черноземы и темно-серые оподзоленные легко- и среднесуглинистые почвы, мощностью в районе исследования от 0,30 до 0,80м, местами заменены насыпными грунтами.

Водная эрозия – смыв почв от 10 до 20% общей площади возделываемых и заброшенных пашен и пастбищ.

Заповедные и архитектурные объекты на рассматриваемом участке отсутствуют.

Взв. инв. №	
Подп. и дата	
Инв. № подл.	

Изм.	Кол.уч	Лист	№ док.	Подп.	Дата	<b>8590-ОВОС</b>	Лист
							13





— комплекса экспериментального оборудования и аппаратуры для проведения научных исследований с использованием получаемых нейтронов.

Согласно Государственным санитарным правилам планировки и застройки населенных пунктов (утв. Минюстом № 1404 от 24.05.96 г.) санитарно-защитная зона для проектируемого объекта находится в границах здания ИЯУ.

Ближайшие жилые дома расположены на востоке на расстоянии 400 м от проектируемых источников выбросов загрязняющих веществ в атмосферу.

#### **Альтернативные варианты.**

В качестве альтернативного варианта ИЯУ рассматривался атомный реактор, однако ввиду ряда ограничений (большая санитарная зона, повышенная радиационная опасность, отношение общественности) этот проект не может быть реализован.

#### **4.2 Оценка вероятных аварийных ситуаций и их последствия**

Вероятные аварийные ситуации, влияющие на окружающую среду могут возникнуть при разгерметизации I контура системы охлаждения подкритической сборки (ПКС) или мишени, а также при выполнении ремонтных работ со снятием систем биологической защиты канала транспорта электронов.

При выходе аэрозолей в зал источника нейтронов они поступают в вытяжную систему вентиляции, где происходит их очистка на фильтрах и уже очищенный воздух выбрасывается в окружающую среду через вентиляционную трубу.

В качестве максимальной проектной аварии принимается выброс радиоактивных аэрозолей при падении ТВС и разрушении защитного канала.

В качестве запроектной аварии рассматривается повреждение активной зоны ПКС с выходом в окружающую среду продуктов деления ядерного топлива. И такая авария возможна только в результате диверсии с применением взрывчатых веществ.

#### **4.3 Данные о размерах строительной площадки, краткая характеристика производства и классы его опасности.**

Площадка строительства располагается на территории ННЦ ХФТИ на площади 1,2 га.

Приоритетными загрязняющими веществами, выбрасываемые в атмосферу, являются: озон и окислы азота.

Озон – бесцветный газ с резким запахом, тяжелее воздуха. Легко разлагается с образованием радикала кислорода, который в последствии образует молекулу кислорода.

Взап. инв. №	
Подп. и дата	
Инв. № подл.	

Изм.	Кол.уч	Лист	№ док.	Подп.	Дата	8590-ОВОС	Лист
							15

Кислород растворим в воде. Хорошо адсорбируется силикогелем, один из самых сильных окислителей, относится к I классу сильно действующих ядовитых веществ (СДЯВ).

Общий характер действия – резко раздражающе действует на слизистую органов дыхания, вплоть до отека легких, отмечается также раздражение слизистых глаз, нарушение аккомодации, головная боль, головокружение, снижение кровяного давления.

Оксид азота – бесцветный газ, по плотности примерно такой же, как и воздух, легко окисляется при обычных условиях и образует диоксид азота (“бурый газ”), который тяжелее воздуха.

Токсическое действие – кровяной яд, переводит оксигемоглобин в метгемоглобин. Оказывает прямое действие на центральную нервную систему. Относится к третьему классу опасности (СДЯВ).

При отравлении наблюдается общая слабость, головокружение, онемение ног, иногда повторяющаяся рвота, снижение кровяного давления. При тяжелом отравлении появляется синюшность губ, слабый пульс, изменяется цвет крови и наступает обморок.

Последствия отравления проявляются длительное время (более года) и выражаются в нарушении ассоциативных способностей, ослаблении памяти и мышечной силы.

Индивидуальная защита – фильтрующий противогаз, вентиляция помещений.

#### 4.4 Данные о сырьевых, земельных, водных, энергетических и прочих ресурсах

Таблица 1 Основные технико-экономические показатели.

Наименование	Ед.изм.	Количество	Примечания
1. Площадь занятых земель	га	1,2	
2. Численность обслуживающего персонала в смену	чел.	25	
3. Годовой расход электроэнергии	тыс.кВт/год	4800	
4. Годовой расход питьевой воды	тыс. м <sup>3</sup>	1,018	

#### 4.5 Краткое описание технологического процесса планируемой деятельности

##### Общее описание исследовательской ядерной установки (ИЯУ)

##### Состав установки

Функционально ИЯУ состоит из следующих основных систем:

Взв. инв. №	
Подп. и дата	
Инв. № подл.	

Изм.	Кол.уч	Лист	№ док.	Подп.	Дата	<b>8590-ОВОС</b>	Лист
							16





Параметр	Значение
транспортировки, кВт	

**Табл. 3 Нейтронообразующая мишень. Технические характеристики.**

Параметр	Значение
Материал мишени	Вольфрам или природный уран
Размеры	Набор из 12 квадратных пластин 66×66 мм
Толщины урановых пластин без защитной оболочки	3; 2.5; 2.5; 2.5; 3; 3; 4; 5; 7; 10; 14; 22.5 мм
Толщина защитной алюминиевой оболочки пластин	0.7 мм с каждой стороны пластины, за исключением пластин толщиной 2.5 мм с оболочкой 0.95 мм
Величина зазора между пластинами для протока теплоносителя	1.75 мм
Полная толщина набора урановых пластин	Не более 80 мм
Максимальная температура поверхности пластин при протоке теплоносителя	Не более 90°C
Вакуумное окно для вывода пучка	Пластина из алюминиевого сплава толщиной 2 мм
Материал корпуса мишени сборки	Алюминиевый сплав
Масса мишени в сборке	Не более 20 кг
Электропровод	Корпус сборки-мишени - труба квадратного сечения из алюминиевого сплава с внутренними размерами 66 мм × 66 мм и толщиной стенки 2 мм
Масса природного урана в мишени	6,54 кг
<b>Выход нейтронов</b>	
Максимальный, усреднённый по времени, выход нейтронов из урановой мишени	$4,5 \cdot 10^{14}$ н/с
Доля нейтронов, эмитируемых в радиальном направлении	~ 70 %
<b>Энерговыведение</b>	
Распределение плотности тока в плоскости мишени	Приблизительно равномерное
Максимальная объемная плотность энерговыведения в мишени	Не более 1500 Вт/см <sup>3</sup>
Средняя поверхностная плотность энерговыведения, кВт/см <sup>2</sup>	2.3
<b>Теплогидравлические характеристики</b>	
Теплоноситель	Деионизованная вода
Расход воды	300... 500 л/мин
Температура воды на входе мишени	20...30°C
Температура воды на выходе мишени	25...35°C
Перепад температур	Не более 5°C
Давление воды на входе мишени	0.41 МПа (4 атм)
Давление воды на выходе мишени	атмосферное
Перепад давлений на мишени	Не более 0.1 МПа

Взап. инв. №  
Подп. и дата  
Инв. № подл.

Изм.	Кол.уч	Лист	№ док.	Подп.	Дата
------	--------	------	--------	-------	------

8590-ОВОС

Лист  
19

Параметр	Значение
<b>Технические характеристики оборудования контура охлаждения мишени (в том числе электропитание)</b>	
Главный насос – 2 шт. (один в работе)	3,75 кВт
Теплообменник – 2 шт. (один в работе)	110 кВт
Рекомбинатор	Объём - 500 литров
Деминерализатор	40 литров/мин
Ёмкость для осушения	Объём - 500 литров
Фильтр №1	Площадь поверхности - 1.5 м <sup>2</sup> Перепад давления ΔP = 11 кПа при расходе 70 литров/мин
Фильтр №2	Площадь поверхности - 1.5 м <sup>2</sup> Перепад давления ΔP = 14 кПа при расходе 190 литров/мин
<b>Устройство смены мишени (требования)</b>	Дистанционно управляемый кран грузоподъёмностью не менее 100 кг

**Табл. 4 Подкритическая сборка. Технические характеристики.**

Параметр	Значение
<b>Активная зона</b>	
Максимальный эффективный коэффициент размножения нейтронов $(k_{eff})_{max}$	≤0,98
Топливо	Диоксид урана ( $UO_2$ ) в алюминиевой матрице
Степень обогащения урана изотопом $U^{235}$ , %	19,7
Тип топливной сборки (ТВС)	ВВР-М2
Плотность топлива, г/см <sup>3</sup>	2,7
Количество ТВС в активной зоне, шт.	35*
Внутренний диаметр активной зоны, см	8.08*

Инв. № подл.  
Подп. и дата  
Взап. инв. №

Изм.	Кол.уч	Лист	№ док.	Подп.	Дата
------	--------	------	--------	-------	------

8590-ОВОС

Лист  
20

Параметр	Значение
Внешний диаметр активной зоны, см	28.3*
Высота активной зоны, см	60
Масса обогащённого урана в топливе активной зоны, г	8750*
Масса делящегося изотопа $U^{235}$ в топливе активной зоны, г	1750*
Максимальная мощность тепловыделения в активной зоне в результате деления ядер, кВт	Не более 260
Максимальная мощность тепловыделения в топливной сборке, кВт	Не более 10
Максимальное полное тепловыделение в подкритической сборке ( <i>диссипация энергии пучка+деление ядер</i> ), кВт	Не более 360
Максимальная температура поверхности ТВЭЛ'ов в режиме циркуляции теплоносителя, °С	Не более 80
<b>Отражатель нейтронов</b>	
Материал радиального отражателя	Графит плотностью $\rho=2.3 \text{ г/см}^3$
Внутренний диаметр радиального отражателя, мм	не менее 245*
Внешний диаметр радиального отражателя, см	

Инв. № подл.	Взлп. инв. №
	Подп. и дата

Изм.	Кол.уч	Лист	№ док.	Подп.	Дата

8590-ОВОС

Лист

21

Параметр	Значение
Высота радиального отражателя, мм	612*
Масса графита в радиальном отражателе, кг	не более 1802*
Максимальная мощность тепловыделения в радиальном отражателе ( <i>поглощение нейтронов и <math>\gamma</math>-квантов</i> ), кВт	Не более 20
Аксиальные ( <i>торцевые</i> ) отражатели нейтронов	Слой теплоносителя ( $H_2O$ ) толщиной 500 мм*
<b>Теплоноситель/замедлитель</b>	
Материал теплоносителя/замедлителя	Деминерализованная и деионизированная легкая вода ( $H_2O$ )
Температура теплоносителя/замедлителя на входе, °С	30
Температура теплоносителя/замедлителя на выходе, °С	35
Давление теплоносителя/замедлителя, МПа	0,1
Расход теплоносителя/замедлителя, м <sup>3</sup> /ч	58
<b>Нейтронные каналы</b>	
Количество горизонтальных экспериментальных каналов	12

Взв. инв. №	
Подп. и дата	
Инв. № подл.	

Изм.	Кол.уч	Лист	№ док.	Подп.	Дата

8590-ОВОС

Лист

22



Параметр	Значение
Количество вертикальных экспериментальных каналов	4
Материал каналов	Алюминиевый сплав
Количество каналов контроля нейтронного потока ( <i>диагностика <math>k_{eff}</math></i> )	4
<b>Радиационная (биологическая) защита</b>	
Материал защиты	Тяжёлый бетон $\rho=4,8 \text{ г/см}^3$ , слой теплоносителя ( $\text{H}_2\text{O}$ ) толщиной 50 см*
Внутренний диаметр бетонной защиты, мм	2100*
Внешний диаметр бетонной защиты, мм	5740*
Толщина бетонной защиты, мм	1820*
Высота бетонной защиты, мм	3500*
Максимальная мощность дозы ионизирующего излучения на внешней границе радиационной защиты, мкЗв/ч	Не более 5
<b>Нейтронно-физические характеристики</b>	
Максимальная интегральная плотность потока нейтронов в активной зоне, н/см <sup>2</sup> ·с	$2,4 \cdot 10^{13}$

Инв. № подл.	Взв. инв. №
Подп. и дата	

Изм.	Кол.уч	Лист	№ док.	Подп.	Дата

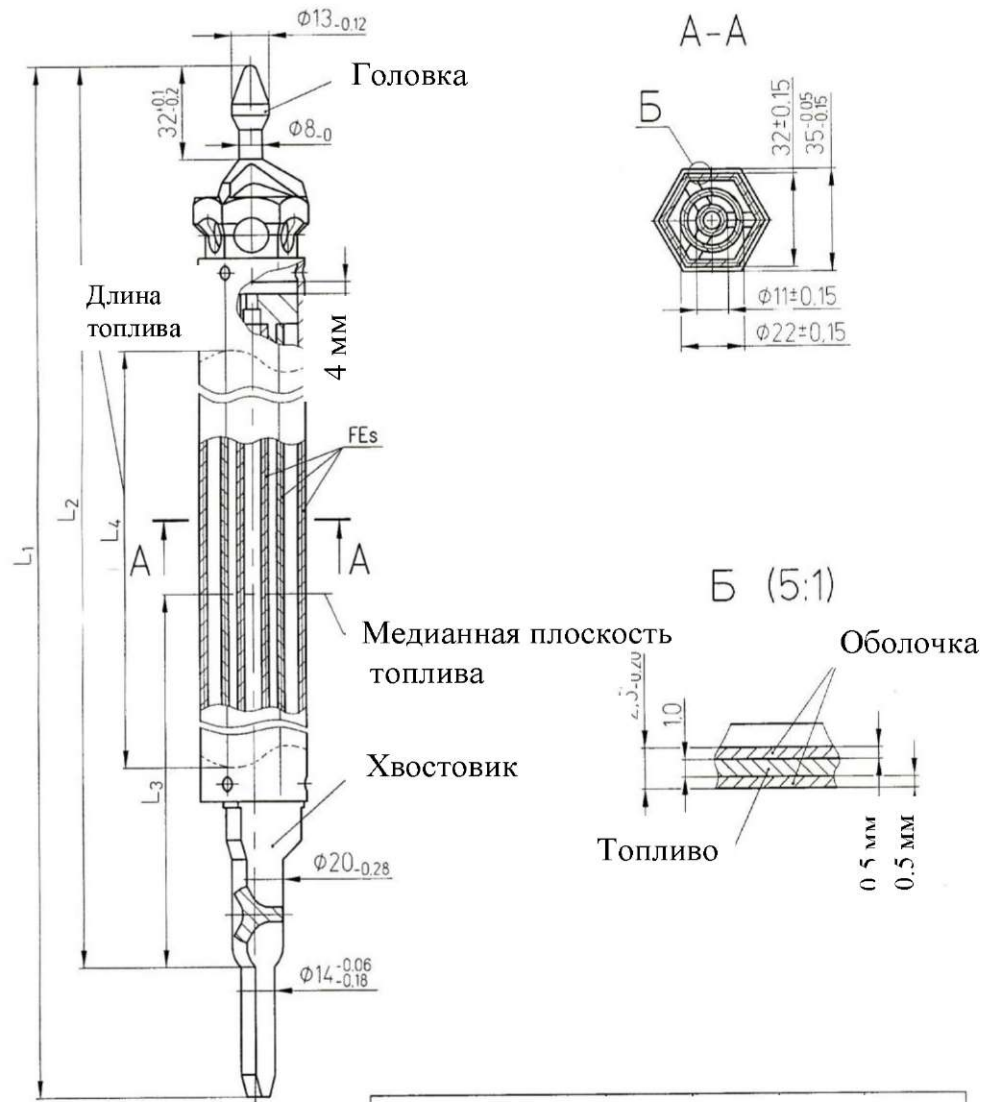
8590-ОВОС

Лист

23



Тепловыделяющая сборка состоит из трёх тепловыделяющих элементов (ТВЭЛ'ов) трубчатой формы: двух коаксиальных трубок цилиндрической формы и одной – шестигранной. Обогащённый уран (обогащение 19,7%) в виде диоксида  $UO_2$  дисперсно распределён в алюминиевой матрице ТВЭЛ'ов, толщиной 1 мм. Для предотвращения попадания продуктов деления урана в теплоноситель, поверхности тепловыделяющих элементов покрыты защитным слоем алюминия, толщиной 0,5 мм (Рис. ).



Маркировка ТС	L1,мм	L2,мм	L3,мм	L4,мм
0001.04.00.000	865±2	822	405	600 <sup>+20</sup> <sub>-30</sub>
0001.06.00.000				
0001.04.00.000-01	750±2	707	340	500 <sup>+20</sup> <sub>-30</sub>
0001.06.00.000-01				

Рис. 1 Тепловыделяющая сборка ВВР-М2

Инв. № подл.	Взаш. инв. №
Изм.	Подп. и дата
Кол.уч	
Лист	
№ док.	
Подп.	
Дата	

8590-ОВОС

Лист  
25

**Табл. 5 Характеристики топлива и ТВС ВВР – М2**

№	Параметр	Ед. изм.	ВВР-М2
1	Общая длина ТВС	мм	750±2
2	Размер «под ключ» головки ТВС	мм	35 <sup>-0.05</sup> <sub>-0.15</sub>
3	Количество твэлов в ТВС	шт	3
4	Тип твэлов		трехслойный,
5	Размер «под ключ» шестигранника внешнего твэла	мм	32±0.15
6	Диаметр второго твэла, наружный		22.0±0.15
7	Диаметр третьего твэла, наружный		11.0±0.15
8	Толщина стенки трубчатой части твэла	мм	2.5 <sup>-0.15</sup> <sub>-0.20</sub>
9	Толщина оболочки в твэлах (с обеих сторон)	мм	0.5 минимум
10	Материал оболочки		САВ-1 *
11	Тип топлива: дисперсионное		металлокерамика Al-U сплав; UO <sub>2</sub> в Al матрице
12	Длина топливной части в твэлах	мм	500 <sup>-20</sup> <sub>-30</sub>
13	Толщина топливного слоя в твэлах	мм	1.0
14	Относительная неравномерность распределения урана в активной зоне на каждые 150 мм длины от центра топливной части для остальной части длины		не более, чем 1.15 не более чем 1.3
15	Обогащение топливного материала U <sup>235</sup>	%	19.7±0.3
16	Содержание U <sup>235</sup> в ТВС: для топлива U - Al для UO <sub>2</sub> в Al матрице	г	41.7±2.1 51.7±2.1
17	Содержание U <sup>238</sup> + U <sup>235</sup> в ТВС: для топлива U - Al для UO <sub>2</sub> в Al матрице	г	208.5±10.5 271.0±14.3
18	Удельное содержание суммы изотопов урана 235 и 238 в единице объема, занятого топливом: для топлива U - Al при топливе UO <sub>2</sub> в Al матрице	г/см <sup>3</sup>	2.19±0.11 2.85±0.15
19	Общая масса ТВС	кг	1.0±0.1
20	Содержание урана 235 в единице объема активной зоны	г/л	78.4
21	Поверхность теплосъема в единице объема активной зоны	см <sup>2</sup> /см <sup>3</sup>	3.67
22	Площадь ячейки реактора для одиночной ТВС	см <sup>2</sup>	10.61
23	Доля объема, занятого водой		0.542
24	Объем, занятый в ТВС топливом	см <sup>3</sup>	95.09
25	Площадь проходного сечения ТВС	см <sup>2</sup>	5.84
26	Толщина зазора между ТВС	мм	3.0
27	Шаг расположения ТВС	мм	35

Взаи. инв. №  
 Подп. и дата  
 Инв. № подл.

Изм.	Кол.уч	Лист	№ док.	Подп.	Дата	<b>8590-ОВОС</b>	Лист
							26

### Описание принципиальной технологической схемы установки

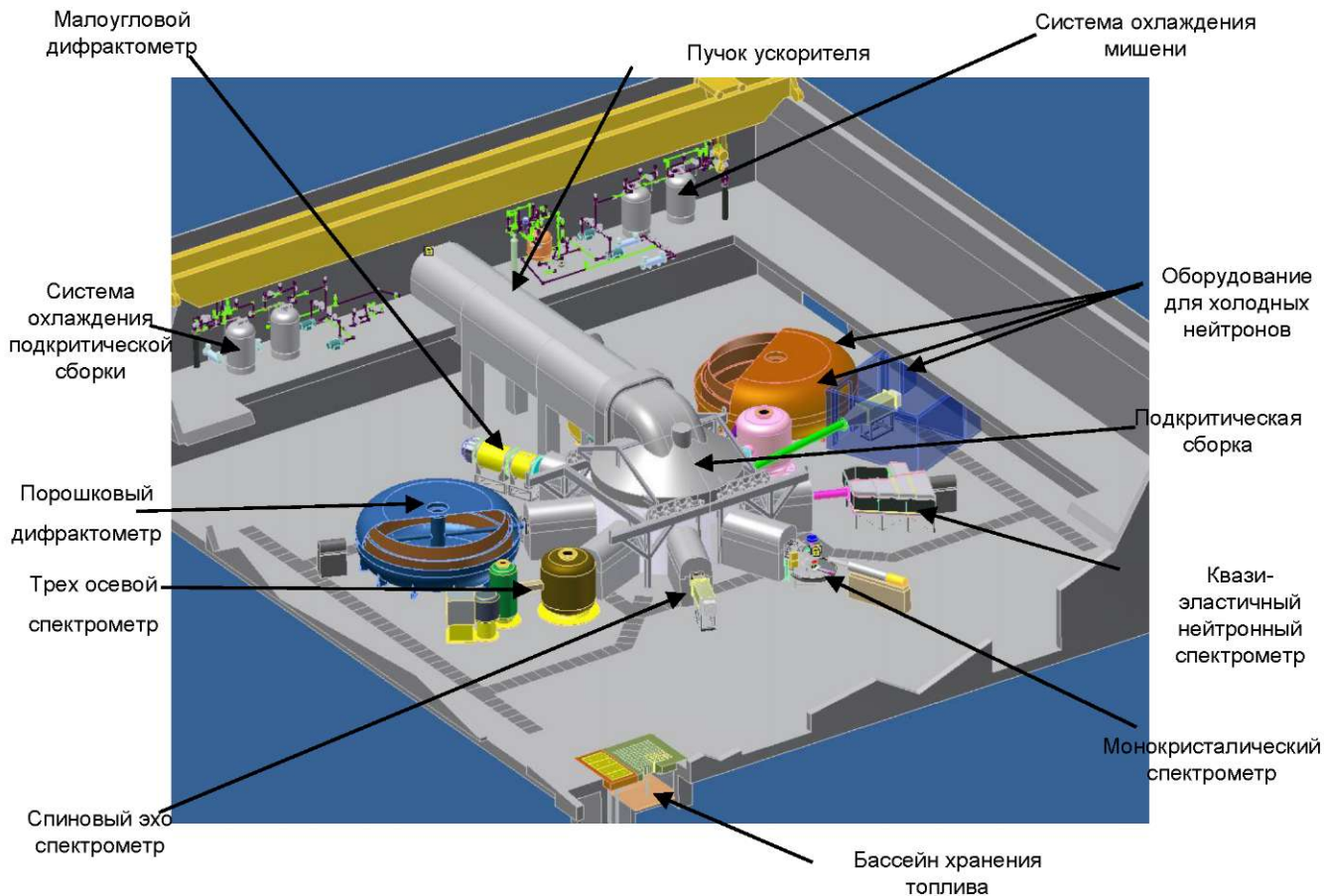
Схема размещения источника нейтронов, основанного на подкритической сборке, управляемой электронным линейным ускорителем представлена на Рис. .

Линейный ускоритель располагается в здании бывшего ускорителя ЛУЭ-2000 (1, Рис. ). Пучок электронов транспортируется от ускорителя через канал транспортировки (2, Рис. ) к подкритической сборке (3, Рис. ). Подкритическая сборка сооружается в зале источника нейтронов размером 24x36 м<sup>2</sup> нового здания, примыкающего к зданию ускорителя. Здание источника нейтронов содержит все элементы подкритической сборки, нейтронные каналы, нейтронные станции и вспомогательные системы. В 3-х этажной части здания источника нейтронов (5, Рис. ) размещаются пультовая, экспресс лаборатории, все системы жизнеобеспечения подкритической сборки.

Радиальный размер биологической защиты из тяжелого бетона плотностью 4,6 г/см<sup>3</sup> равен 1,8 м. В биологической защите имеются выводные нейтронные каналы (4, Рис. ), которые можно использовать для различных применений. Нейтронные каналы имеют биологическую защиту из тяжелого бетона и стальных ключевых блоков, которые содержат вакуумированные нейтронные каналы и нейтроноводы. Эти каналы подводят нейтроны к исследовательским станциям, которые имеют собственную биологическую защиту. Каждый канал заканчивается поглотителем неиспользованных нейтронов с соответствующей биологической защитой. Некоторые нейтронные станции имеют внутренние нейтронные стопперы.

Инв. № подл.	Подп. и дата	Взаш. инв. №							Лист
			8590-ОВОС						
Изм.	Кол.уч	Лист	№ док.	Подп.	Дата				Формат А4





**Рис. 3 Расположение оборудования подкритической сборки.**

Механизм загрузки спроектирован таким образом, чтобы загружать и перезажуать ТВС, элементы отражателя и экспериментальные образцы без открытия биологической защиты или большой перестановки других компонентов подкритической сборки. Механизмы захвата и перемещения имеют все необходимые степени свободы движения, включая открытие, закрытие, подъем, опускание вращения захватываемых частей подкритической сборки.

Компоненты подкритической сборки и исследуемые образцы устанавливаются и извлекаются с использованием изолирующего «пенала». Этот пенал предохраняет попадание в экспериментальный зал охлаждающей воды и обеспечивает биологическую защиту обслуживающего персонала.

Рис. показывает внутренние компоненты подкритической сборки. Все элементы активной зоны подкритической сборки – тепловыделяющие сборки, призмы графитового отражателя устанавливаются в решетке.

В экспериментальном зале необходимо поддерживать давление воздуха несколько ниже, чем атмосферное, чтобы обеспечить приток воздуха извне.

Воздух из экспериментального зала через вентиляционные воздуховоды направляется на фильтры для очистки воздуха от загрязнений.

Взлп. инв. №	
Подп. и дата	
Инв. № подл.	

Изм.	Кол.уч	Лист	№ док.	Подп.	Дата

8590-ОВОС

Лист  
29



Чтобы исключить циркуляцию воздуха из пространства внутри биологической защиты подкритической сборки в экспериментальный зал давление воздуха над подкритической должно поддерживаться несколько ниже, чем в экспериментальном зале. Вытяжная вентиляция оборудуется фильтрами в том числе и для сбора охлаждающей воды, чтобы минимизировать потери охладителя.

Система кондиционирования и отопления контролирует температуру и влажность в экспериментальном зале.

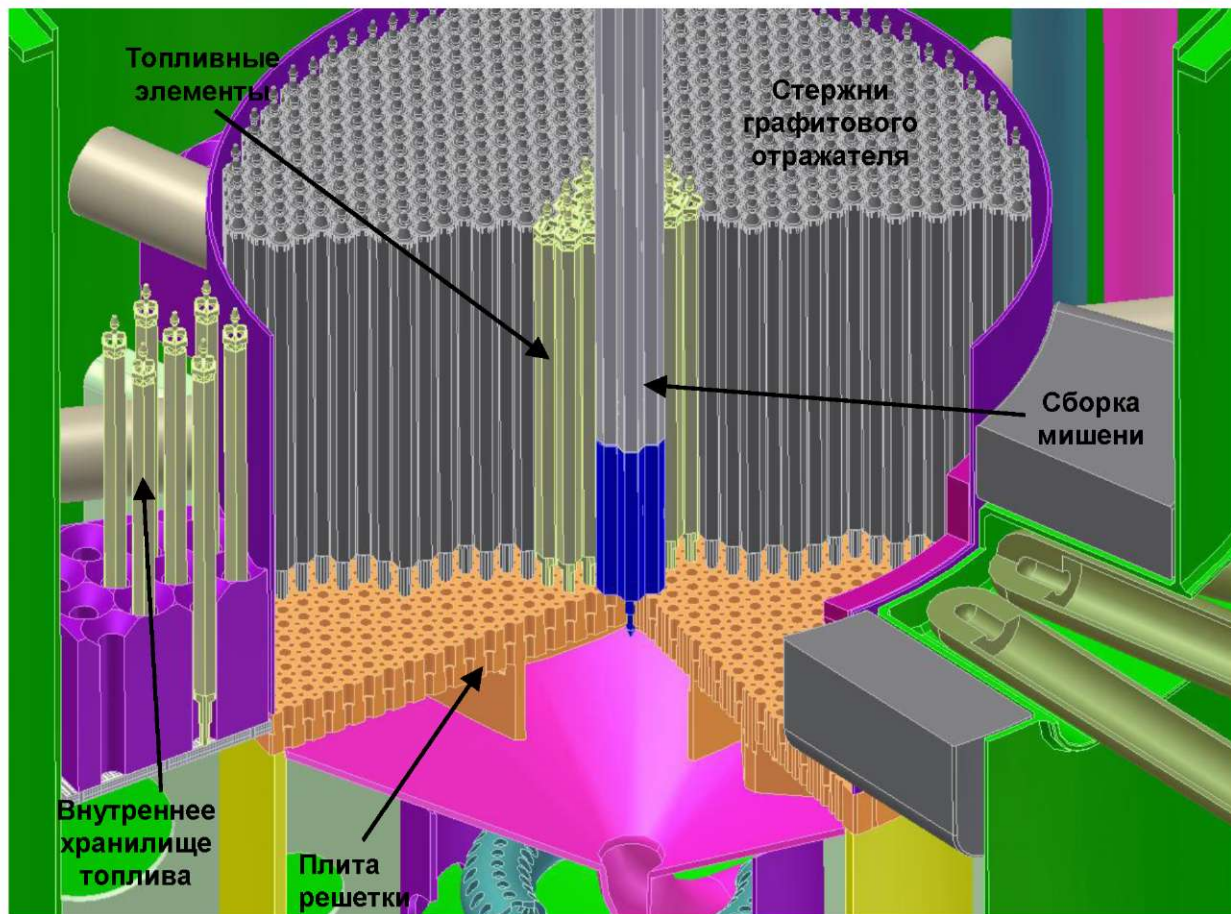


Рис. 4 Устройство внутренней части подкритической сборки.

Датчики радиационного мониторинга и мониторы контроля чистоты воздуха устанавливаются в различных местах экспериментального зала. Рефрижератор с рабочей температурой 4.20 К и мощностью ~ 150 Вт обеспечивает работу установки. Вакуумированные линии подачи криогенных жидкостей и линии возврата рабочих газов (гелий, водород и др.) проложены по экспериментальному залу и внутрь подкритической сборки. Для обеспечения работы с гелием газгольдеры и резервуары для хранения гелия, водорода и инертных газов размещаются рядом со зданием подкритической сборки.

Для оперативного обслуживания экспериментальных исследований на подкритической сборке предусмотрено несколько инструментальных станков.

Инв. № подл.	Подп. и дата	Взаи. инв. №							Лист
Изм.	Кол.уч	Лист	№ док.	Подп.	Дата	8590-ОВОС		Формат А4	



Подъемный кран с грузоподъемностью 50 т необходим в экспериментальном зале для монтажа основных элементов биологической защиты, а кран с грузоподъемностью 10 т для монтажа более легких элементов всей установки.

Хранилище отработанного ядерного топлива располагается в зале подкритической сборки. Глубина водяного бассейна в комбинации с крышкой должны обеспечить биологическую защиту хранилища отработанного топлива. Облученные нейтронообразующие мишени также хранятся в этом бассейне.

Конструкция грузоподъемного крана обеспечивает проведение работ с отработанным топливом и нейтронообразующей мишенью в хранилище отработанного топлива.

Перчаточные боксы, оборудованные соответствующими системами вентиляции и фильтрации, необходимы для работы с медицинскими радиоизотопами и изготовления различных активных образцов. Оборудование по приготовлению образцов должно включать прессы, весы, печи, стандартное лабораторное оборудование и химические препараты.

Здание подкритической сборки необходимо оборудовать шлюзом и краном для загрузки оборудования и накопительной площадкой для хранения редко используемого оборудования.

Распределительные каналы для электропитания проложены в полу и разведены по различным потребителям.

В здании подкритической сборки размещены системы охлаждения мишени и подкритической сборки, водопроводные горячая и холодная вода для бытового использования, системы охлаждения оборудования нейтронных станций и обеспечения санпропускника.

Системы охлаждения нейтронообразующей мишени и подкритической сборки показаны на Рис. и Рис. соответственно.

Инв. № подл.	Подп. и дата	Взлп. инв. №					8590-ОВОС	Лист
			Изм.	Кол.уч	Лист	№ док.		Подп.

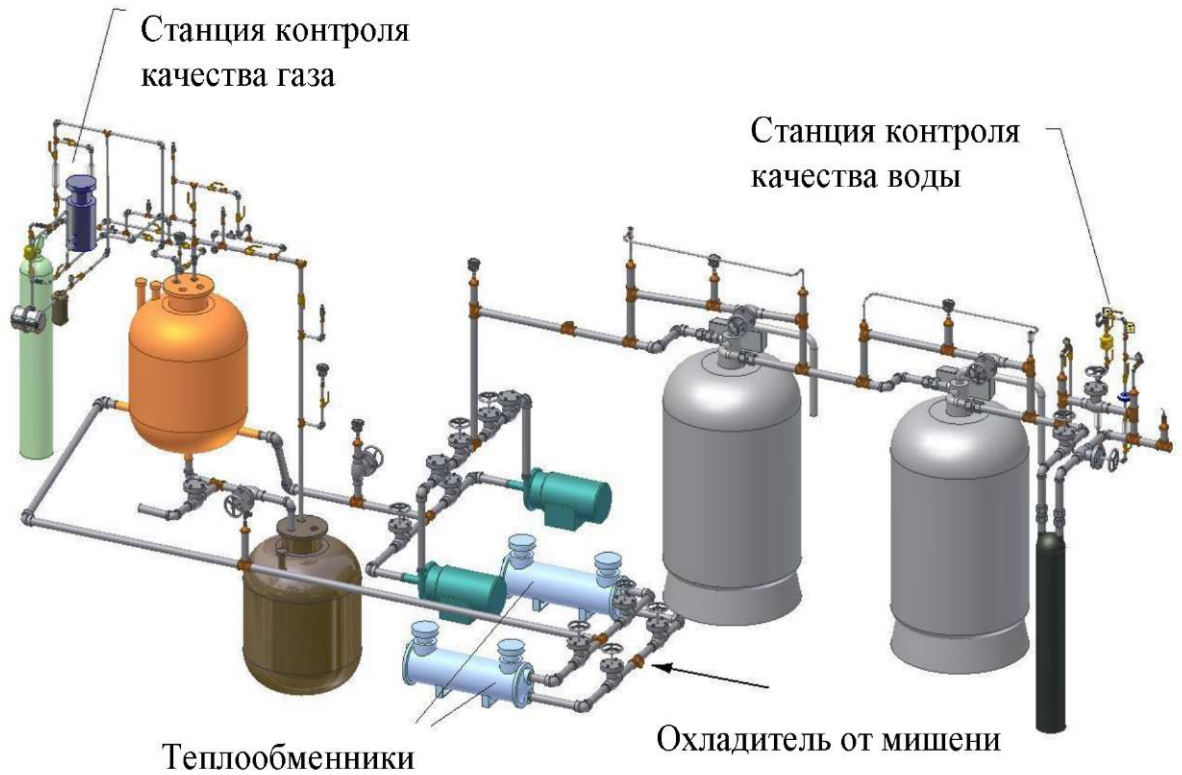


Рис. 5 Система охлаждения нейтронообразующей мишени.

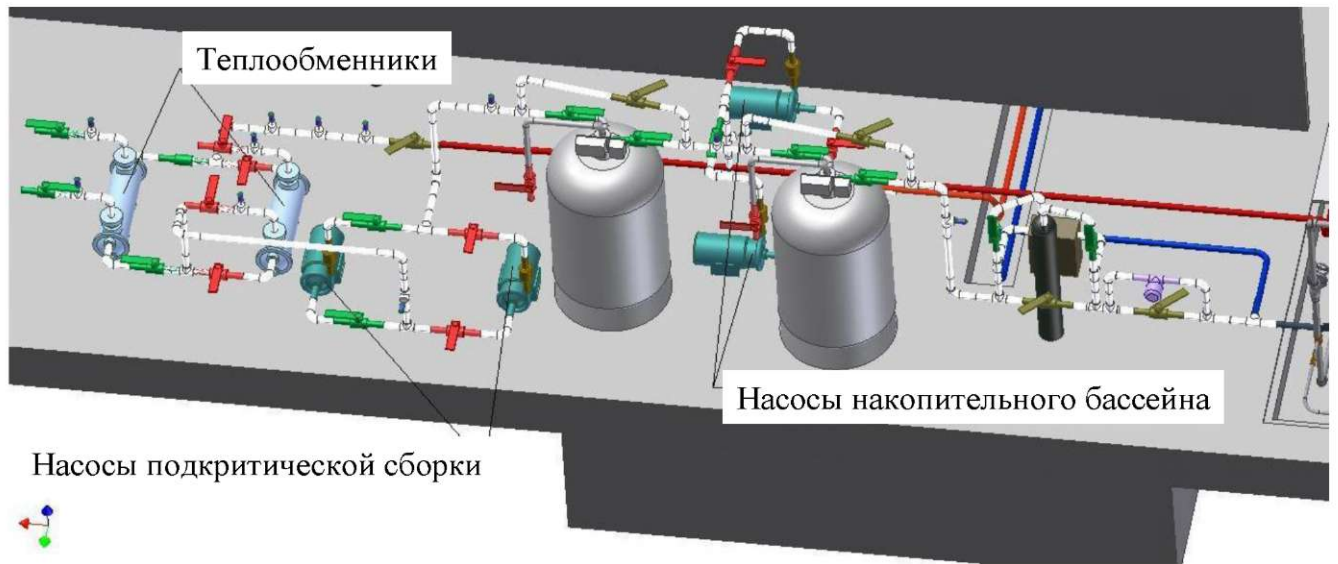


Рис. 6 Система охлаждения подкритической сборки.

Взап. инв. №	
Подп. и дата	
Инв. № подл.	

Изм.	Кол.уч	Лист	№ док.	Подп.	Дата

8590-ОВОС

#### 4.6. Оценка возможности возникновения аварийных ситуаций

Вероятные аварийные ситуации, влияющие на окружающую природную среду, могут возникнуть при эксплуатации проектируемой ИЯУ в случае пожара или утери контроля над сильно активными веществами.

В большинстве случаев эти операции система защиты проводит автоматически. Действия в аварийных ситуациях регламентируются отдельными инструкциями.

Аварии, при которых требуется срочный вход в помещение ИЯУ:

- возгорание в помещении ИЯУ (пожар);
- переоблучение персонала (радиационная авария).
- при аварийном отключении ускоренного пучка необходимо выяснить причину;
- при срабатывании технологических блокировок осмотреть оборудование;
- при срабатывании блокировок радиационной безопасности осмотреть помещения ИЯУ.

При получении сигнала о пожаре в помещениях ИЯУ необходимо:

- отключить ускоренный пучок;
- отключить приточно-вытяжную вентиляцию;
- отключит все напряжение в зоне пожара;
- вызвать пожарную команду ГПЧ-36 по телефону 64-44, через пожарные извещатели или городскую по телефону 101;
- сообщить о пожаре руководству ННЦ ХФТИ;
- оповестить о пожаре персонал, находящийся в здании;
- принять меры к ликвидации (к нераспространению) пожара имеющимися средствами;
- встретить пожарную команду;
- при наличии пострадавших оказать первую помощь и вызвать скорую медицинскую помощь СМСЧ-13 по телефону 64-42 или городскую по телефону 103;
- зафиксировать в оперативном журнале все обстоятельства инцидента;
- к работе по ликвидации пожара привлекать весь персонал, находящийся в здании.

В результате предусмотренных мероприятий влияние аварийных ситуаций на экологию будет незначительным из-за их относительной кратковременности. При обнаружении аварии, она будет немедленно ликвидирована и произведен восстановительный ремонт.

Инв. № подл.	Подп. и дата	Взл. инв. №							Лист
			8590-ОВОС						
Изм.	Кол.уч	Лист	№ док.	Подп.	Дата				







- 0,1 ки/час

- радиоизотоп кислорода  $^{15}\text{O}$  ( $t$  полураспада = 2,0 мин) – 0,18ки/час

Эти вредные вещества образуются в туннеле ускорителя при его работе. Выброс в атмосферу осуществляется вентиляционной системой, оборудованной фильтрами для улавливания радиоактивной пыли (аэрозолей).

Проектом предусмотрена система вентиляции грязной зоны с установленными в ней фильтрами (эффективность задержания загрязняющих веществ 99%).

В процессе эксплуатации ИЯУ возможен выброс радиоактивных аэрозолей в воздух рабочей зоны, вследствие разгерметизации 1 контура системы охлаждения подкритической сборки или мишени, а так же при выполнении ремонтных работ со снятием биологической защиты канала транспортировки электронов.

При выходе аэрозолей в зал источника нейтронов они поступают в вытяжную систему вентиляции, где происходит их очистка на фильтрах, и уже очищенный воздух выбрасывается в окружающую среду (ОС) через вентиляционную систему.

В качестве максимальной проектной аварии принимается выброс радиоактивных аэрозолей при падении обработанной ТВС с разрушением защитного канала.

При нормальной эксплуатации дополнительное разряжение в туннеле линейного ускорителя и канала транспортировки электронов препятствует поступлению в экспериментальный зал и ОС вредных газообразных химических соединений, радионуклидов, пыли, аэрозолей.

При нарушениях нормальной эксплуатации (сбои, отказы оборудования, выход технологических параметров за пределы заданных диапазонов и т.п.) система защиты выключает ускоритель (электронный пучок) в течение нескольких миллисекунд после регистрации соответствующего исходного события. Система защиты (блокировки работы ЛУЭ) является структурной единицей АСУ.

После выключения ЛУЭ прекращается наработка вредных химических веществ и радионуклидов в воздухе ИЯУ и, соответственно, их выброс в атмосферу; прекращается деление ядер урана 235 и накопление продуктов деления в топливе ПКС.

Количество выделяющегося оксида и диоксида азота рассчитывается по формулам (1-2):

$$M_{\text{NO}_2} = 0,8 M_{\text{NO}_x}, \text{ г/с} \quad (1)$$

$$M_{\text{NO}} = 0,65(1-0,8) M_{\text{NO}_x}, \text{ г/с} , \quad (2)$$

где,

$M_{\text{NO}_x}$  – количество окислов азота, выделяющегося в единицу времени, г/с;

$M_{\text{NO}_2}$  – количество диоксида азота, выделяющегося в единицу времени, г/с;

$M_{\text{NO}}$  – количество оксида азота, выделяющегося в единицу времени, г/с.

Взлп. инв. №
Подп. и дата
Инв. № подл.

Изм.	Кол.уч	Лист	№ док.	Подп.	Дата	8590-ОВОС	Лист
							37

Результаты расчетов выбросов на выходе их системы вентиляции здания ИЯУ приведены в таблице 6:

**Таблица 6 Результаты расчетов выбросов на выходе их системы вентиляции здания ИЯУ**

Загрязняющее вещество	Mi, г/с	Mic, т/год
источник №1 (вентиляционная труба здания ИЯУ)		
Оксид азота	0,000043	0,001356048
Диоксид азота	0,0000448	0,001412813
Озон	0,00000728	0,000229582

### 5.2.2 Обоснование нормативной санитарно-защитной зоны (СЗЗ).

Расчет концентраций загрязняющих веществ в приземном слое атмосферы был использован для определения размера СЗЗ по факту химического загрязнения (расчетная СЗЗ). Таким образом, определялась зона загрязнения. Под понятием "зона загрязнения" имеется ввиду территория вокруг источников загрязнения, в пределах которой приземный слой атмосферы загрязняется вредными веществами, содержащимися в производственных выбросах в концентрациях, превышающих допустимые нормы (см. Руководство по проектированию СЗЗ промышленных предприятий, п. 1. 2.) .

СЗЗ устанавливается в целях снижения уровня загрязнения атмосферного воздуха до установленных значений согласно Государственным санитарным правилам планирования и строительства населенных пунктов. За пределами СЗЗ не должно обнаруживаться загрязнение атмосферного воздуха выше предельно допустимых концентраций, (ПДК).

Построение санитарно-защитной зоны осуществляется в соответствии с п. 8.6 ОНД-86 от источников выделения вредных веществ.

Размеры СЗЗ уточняются отдельно для различных направлений ветра:

$$L = L_0 * P / P_0,$$

где L - расчетный размер СЗЗ, м.;

L<sub>0</sub> - расчетный размер участка местности в данном направлении, где концентрация загрязняющего вещества (с учетом фоновой концентрации от других источников) превышает ПДК, м.;

P - среднегодовая повторяемость направлений ветра рассматриваемого румба, %;

P<sub>0</sub> - повторяемость направлений ветров одного румба при круговой розе ветров, % (при восьмирумбовой P<sub>0</sub> = 12.5).

Согласно Государственным санитарным правилам планировки и застройки населенных пунктов (утв. Минюстом № 1404 от 24.05.96 г.) санитарно-защитная зона для проектируемых ускорителей электронов не нормируется.

Взлп. инв. №	
Подп. и дата	
Инв. № подл.	

Изм.	Кол.уч	Лист	№ док.	Подп.	Дата	<b>8590-ОВОС</b>	Лист
							38



Ближайшие жилые дома расположены на востоке на расстоянии 400 м от проектируемых источников выбросов загрязняющих веществ в атмосферу.

Из расчетов рассеивания видно, что максимальные приземные концентрации не превышают 1.0 ПДК по всем ингредиентам за границей исследовательской ядерной установки ННЦ ХФТИ, поэтому  $L_0 = 0$ , следовательно, размер расчетной СЗЗ следует считать по границе территории ННЦ ХФТИ.

Размер расчетной санитарно-защитной зоны отражен в таблице 7.

**Таблица 7 Размер расчетной санитарно-защитной зоны**

Обозначения	Румбы направления ветров							
	С	СВ	В	ЮВ	Ю	ЮЗ	З	СЗ
Р, %	10	11	20	12	10	12	15	11
Р/Р <sub>0</sub> , %	0.8	0.88	1.6	0.96	0.8	0.96	1.2	0.88
L <sub>0</sub> , м	0	0	0	0	0	0	0	0
Размер нормативной СЗЗ на проектируемое положение, L норм., м	Не		нормируется					
Размер расчетной СЗЗ на проектируемое положение L расч., м	0	0	0	0	0	0	0	0

"0" означает, что расчетная санитарно-защитная зона проходит по границе здания ИЯУ на территории ННЦ ХФТИ.

Расчетная санитарно-защитная зона показана на ситуационной карте-схеме района размещения источника нейтронов ННЦ ХФТИ в масштабе 1:10000.

В соответствии с ОСПУ п. 9.4.2. санитарно-защитная зона (СЗЗ) и зона наблюдения (ЗН) в обязательном порядке устанавливается для предприятий I категории.

Допустимые выбросы оцениваем по величине квоты 40 мкЗв/год для критической группы населения (категория В) на расстоянии 400 м от ИЯУ.

Считаем целесообразным установить проектные допустимые значения выбросов для суммы инертных радиоактивных газов (ИРГ), суммы изотопов йода (I-131+I-133+I-135) и трития. Исползованные значения приведены в табл. 4.1 Расчетные значения получены для расстояния 400 м от ИЯУ и годовой дозы, равной квоте 40 мкЗв/год, см. табл. 8.

Взаи. инв. №	
Подп. и дата	
Инв. № подл.	

Изм.	Кол.уч	Лист	№ док.	Подп.	Дата	<b>8590-ОВОС</b>	Лист
							39

**Таблица 8 – Проектные значения ДВ**

Параметр	Выброс, соответствующий квоте,	Проектное значение ДВ,
	Бк/год	Бк/год
ИРГ	$2,4 \times 10^{+14}$	$2,4 \times 10^{+13}$
Сумма I	$2,6 \times 10^{+10}$	$2,6 \times 10^{-9}$
Тритий	$1,6 \times 10^{+13}$	$1,6 \times 10^{+12}$

Проектные значения допустимых выбросов (ДВ) устанавливаем на порядок меньше расчетных значений. Это обусловлено, в основном, неопределенностью в значениях и составе радиоактивных выбросов, заложенных в расчетах.

Контрольные уровни (КУ) устанавливаем по расчетным значениям выбросов, увеличенным на порядок. Это также обусловлено неопределенностью в значениях величин и состава выбросов, заложенных в расчетах, см. табл. 9.

**Таблица 9 – Проектные значения КУ**

Параметр	Расчетный выброс, Бк/год	КУ выброса, Бк/год
ИРГ	$3,7 \times 10^{+19}$	$3,7 \times 10^{+10}$
Сумма I	$4,00 \times 10^{+5}$	$4,00 \times 10^{+6}$
Тритий	$2,1 \times 10^{+8}$	$2,1 \times 10^{-9}$

Срок действия установленных значений не более 3-х лет.

Способ контроля – "прямое" сравнение ДВ и КУ с измеренными данными.

Превышение ДВ означает превышение квоты предела дозы за счет воздушного пути для предприятий, использующие ядерные реакторы, равной 40 мкЗв/год.

Согласно приведенным результатам расчетов на всей территории вокруг ИЯУ уровень облучения людей в условиях нормальной эксплуатации не превышает квоты предела дозы для категории В. Поэтому размеры СЗЗ можно ограничить территорией здания, где размещается ИЯУ, где присутствует лишь персонал категории А, не производится деятельность, которая не имеет отношения к радиационно-ядерному объекту, и где проводится радиационный контроль.

Так как к зоне наблюдения относится территория, на которой возможно влияние радиоактивных сбросов и выбросов радиационно-ядерного объекта и где должен осуществляться мониторинг, то зону наблюдения ИЯУ можно считать совпадающей с зоной наблюдения ННЦ ХФТИ.

### 5.2.3 Методы и средства контроля за состоянием воздушного бассейна

В соответствии с "Типовой инструкцией по организации системы контроля промышленных выбросов в атмосферу в отраслях промышленности" Госкомиздат,- Л.: 1986 контроль за соблюдением нормативов ПДВ (ВСВ) на предприятии подразделяется на следующие виды:

- непосредственно на источниках выбросов;

Взв. инв. №

Подп. и дата

Инв. № подл.

Изм.	Кол.уч	Лист	№ док.	Подп.	Дата	<b>8590-ОВОС</b>	Лист
							40

— на постах Харьковского областного центра по гидрометеорологии.

Контроль за соблюдением нормативов ПДВ (ВСВ) непосредственно на источниках выбросов, открытом складе баллонов, канализационных каналах и колодцах может осуществляться либо силами предприятия, либо организацией данного ведомства, либо сторонней специализированной организацией на договорных началах.

Необходимость контроля за соблюдением нормативов ПДВ (ВСВ) на предприятии определяется выполнением неравенств:

$$C_m / ПДК * H_{ср} > 0.01 \text{ при } H_{ср} > 10 \text{ м.},$$

$$C_m / ПДК > 0.1 \text{ при } H_{ср} \leq 10 \text{ м.},$$

где  $C_m$  - суммарная максимальная величина выброса загрязняющего вещества из всех источников по предприятию, г/с;

ПДК - максимально-разовая предельно - допустимая концентрация загрязняющих веществ в воздухе населенных мест, мг/м<sup>3</sup>;

$H_{ср}$  - средняя высота источника выброса по предприятию, м.

Необходимость контроля отражена в таблице 10

**Таблица 10 Необходимость контроля**

Наименование ингредиентов	Суммарная мощность, г/с $C_m$	Максимальн. разовая ПДК мг/м <sup>3</sup>	Средняя высота трубы, м	$C_m / ПДК * H_{ср}$ больше 0,01 $H > 10 \text{ м}$	$C_m / ПДК$ больше 0,1 $H < 10 \text{ м}$	необходимость контроля, + или -
1	2	3	4	5	6	7
Азота оксид	0,000043	0,4	25	0.0000043		-
Азота диоксид	0,0000448	0,085	25	0,000021		-
Озон	0,00000728	0,16	25	0,00000182		-

Ингредиенты, для которых выполняется неравенство  $C_m / ПДК > 0.1$  при  $H \leq 10$  м подлежат контролю.

Как видно из таблицы, таких веществ нет, однако необходимо периодически контролировать источник выбросов. Результаты замеров отмечаются в плане-графике контроля лабораторией контроля за состоянием окружающей среды, расположенной на территории ННЦ ХФТИ.

План-график контроля за соблюдением нормативов ПДВ (ВСВ) на источниках выбросов утверждается руководством предприятия и согласуется с Госуправлением экологии и природных ресурсов в Харьковской области.

Взв. инв. №	
Подп. и дата	
Инв. № подл.	

Изм.	Кол.уч	Лист	№ док.	Подп.	Дата	<b>8590-ОВОС</b>	Лист
							41





Решениями по снижению производственных шумов и вибрации предусмотрено:

- подбор вентиляторов с КПД близким к максимальному;
- скорость вращения колеса вентилятора минимально возможная для обеспечения необходимого напора сети и меньших шумовых характеристик вентиляторов;
- оптимально необходимые скорости движения воздуха, обеспечивающие минимальные аэродинамические шумы.

Исходя из вышеизложенного, уровень звукового давления соответствует СП № 3077-84 "Санитарные нормы допустимого шума на территории жилой застройки". Следовательно, дополнительных мер по шумопоглощению не требуется.

### Анализ воздействий тепловых выбросов

На пром. площадку не будут оказывать отрицательного воздействия тепловые выбросы, ввиду применения для уменьшения выбросов тепла в системе вентиляции и кондиционирования на системе 00SAK40AN004 (00SAK40AN005) системы рециркуляции воздуха.

## 5.3 Нормы радиационной безопасности Украины (НРБУ-97)

### 5.3.1 Радиационно-гигиенические нормы.

Проектируемая установка является первой подкритической установкой такого типа в Украине. Имеющиеся подкритические сборки были спроектированы в соответствии с требованиями ПБЯ-01-75 «Правила ядерной безопасности подкритических стенов», разработанными еще в Советском Союзе более 30 лет назад. В настоящее время ведется подготовительная работа по анализу и дальнейшему пересмотру этого документа с учетом требований МАГАТЭ и мирового опыта, в частности опыта Российской Федерации, где проведена значительная работа по пересмотру устаревших НТД. Требования к выполнению обоснования ядерной и радиационной безопасности подкритических установок в РФ регламентируется следующими документами:

1. «Правила ядерной безопасности подкритических стенов ПБЯ ПКС-2005» НП-059-05;
2. «Общие положения обеспечения безопасности исследовательских ядерных установок» НП-033-01;
3. «Требования к содержанию отчета по обоснованию безопасности исследовательских ядерных установок» НП-049-03;

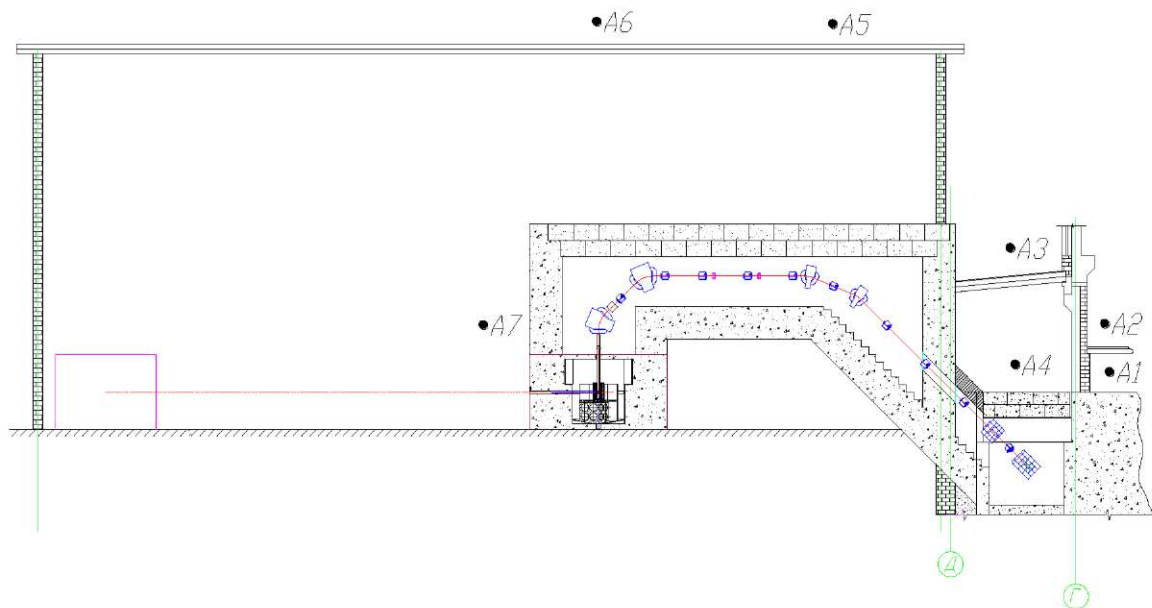
Инв. № подл.	Подп. и дата	Взап. инв. №							Лист
			8590-ОВОС						
Изм.	Кол.уч	Лист	№ док.	Подп.	Дата				



находится на отметке - 0,9 м. Глубина бункера составляет 2,4 м, ширина - 3 м. При энергии электронов 130 МэВ и потерях пучка в системе компрессии 10 кВт для системы компрессии потребуется усиление существующей радиационной защиты толщиной 2 м ещё дополнительно 0,25 м тяжелого бетона ( $\rho=4,8 \text{ г/см}^3$ ) длиной  $\sim 20 \text{ м}$ . Объем бетона  $V=60 \text{ м}^3$ . Водопроводы и другие энергетические коммуникации не должны препятствовать установке и разборке радиационной защиты и наоборот. Для угла  $0^\circ$  в направлении пучка существующей лобовой защиты (за первым поворотным магнитом СП-82 №1) толщины 7,6 м достаточно. Кроме того, в лобовой защите имеется канал для вывода пучка в существующий мишенный зал и лабиринт для доступа обслуживающего персонала к оборудованию линейного ускорителя.

Проведены оценки параметров радиационной защиты канала транспортировки на участке от первого отклоняющего магнита В1 до последнего В6.

При проведении расчетов принималось, что потери электронного пучка в системе его транспортировки будут составлять 0,5% - по 10 мкА в первых двух 45-градусных поворотных магнитах (В1, В2) и по 7,5 мкА на втором (В3, В4) и третьем (В5, В6) поворотах траектории. В фокусирующих линзах потери принимались равными нулю. Предполагалось, что выходные узлы и электропровод изготовлены из нержавеющей стали марки IX18Н9Т (70% - железо, 18% - хром, 10% - никель, 1% - титан, 1% - марганец и кремний). Поворотные магниты изготовлены из железа, обмотки катушек - медные. Для расчетов выбраны контрольные точки А1÷А8, показанные на Рис. .



**Рис. 7 Расположение контрольных точек для оценки параметров радиационной защиты канала транспортировки электронного пучка.**

Взаш. инв. №	
Подп. и дата	
Инв. № подл.	

Изм.	Кол.уч	Лист	№ док.	Подп.	Дата	8590-ОВОС	Лист
							46



(А1 - технологический коридор, А2 - клистронный зал, А3 – крыша необслуживаемого надбункерного помещения, А4 - надбункерное помещение, закрытое дверью с блокировками, А5 - точка на крыше пристройки над магнитом В3, А6 - точка на крыше пристройки над магнитом В6, А7 - точка в зале источника нейтронов.)

Основными факторами радиационной опасности, определяющими толщину радиационной защиты системы транспортировки электронного пучка с энергией 150 МэВ, являются: тормозное излучение и фотонейтроны. Кроме того, в воздухе под действием электронов и фотонов тормозного излучения образуются вредные химические вещества: озон, окислы азота и радионуклиды  $^{13}\text{N}$  и  $^{15}\text{O}$ .

Необходимая кратность ослабления мощности дозы тормозного излучения определяется выражением

$$K(X, \theta) = \dot{D}_0(\theta) \cdot U \cdot T / R^2 \cdot \dot{H}, \quad (1)$$

где:

X - толщина защитного барьера (см);

$\dot{H}$  - проектный контрольный уровень мощности дозы для персонала ННЦ ХФТИ  
~ 4,7 мкЗв/ч

R - расстояние от источника излучения до расчетной точки (м);

$\dot{D}_0(\theta)$  - мощность поглощенной дозы на расстоянии 1 м от источника излучения под углом  $\theta$  по отношению к направлению распространения пучка электронов.

Коэффициенты U и T, характеризующие тип защитного барьера и степень занятости персонала в помещениях данного типа, приняты равными 1.

В Табл. приведены мощности эквивалентной дозы тормозного излучения  $\dot{H}$  (Зв/ч) в точках А1÷А8, расположенных на расстоянии R(м) от источников излучения без защиты, требуемые кратности ослабления мощности дозы K(X) до предельного контрольного уровня, и необходимые для этого толщины d бетонной защиты с плотностью  $\rho=2,3$  г/см<sup>3</sup>. Источником излучения для точек А1÷А5 принимались участки электропровода магнитов В1 и В2, для точек А5÷А6 – магнитов В3÷В4, для точек А7÷А8 – магнитов В5÷В6.

**Табл. 11 Результаты расчета биологической защиты канала транспортировки пучка**

Точки	А1	А2	А3	А4	А5	А6	А7
R(м)	4,5	6	7,5	3	5	5	4,5
$\dot{H}$ , Зв/ч	0,573	0,372	0,206	1,29	0,176	0,176	0,217
K(X)	1,2.10 <sup>5</sup>	6,9.10 <sup>4</sup>	4,4.10 <sup>4</sup>	2,7.10 <sup>5</sup>	3,7.10 <sup>4</sup>	3,7.10 <sup>4</sup>	4,6.10 <sup>4</sup>

Взаи. инв. №	
Подп. и дата	
Инв. № подл.	

Изм.	Кол.уч	Лист	№ док.	Подп.	Дата	<b>8590-ОВОС</b>	Лист
							47

d, м	2,7	2,65	2,6	2,8	2,6	2,6	2,6
------	-----	------	-----	-----	-----	-----	-----

Для выбора параметров защиты от фотонейтронов, генерируемых тормозным излучением, предварительно определялся их выход. Выход фотонейтронов вычисляется по формуле:

$$Q = (1,5 \cdot 10^{-4}) \cdot N \cdot E_0 = 2,81 \cdot 10^{12} \text{ н/с} \quad (2)$$

(здесь N - количество электронов в пучке с энергией E0 ).

Тогда плотность потока нейтронов на расстоянии R(м) от мишени есть:

$$\Phi(R) = Q / (4\pi R^2 \cdot 10^4) = 2,81 \cdot 10^{12} / (12,56 \cdot 10^4 \cdot R^2) = 2,74 \cdot 10^7 \text{ н/(с} \cdot R^2) \quad (3)$$

В частности, поток нейтронов в точке А1 без защиты будет:

$$\Phi(A1) = 2,74 \cdot 10^7 / 4,52 = 1,35 \cdot 10^6 \text{ н/с} \cdot \text{м}^2$$

В таблице 12 приведены длины релаксации L нейтронов в зависимости от энергии нейтронов En для обычного бетона (ρ=2,3 г/м3), число длин релаксации n и коэффициенты ослабления нейтронного потока за защитой из обычного бетона толщиной d=2,6 м. Число длин релаксаций связано с требуемой кратностью ослабления соотношением n=ln(2Kn).

**Табл. 12 Характеристики фотонейтронов в зависимости от энергии**

En, МэВ	10	15	50	100
L, см	10	11	12,5	20
n	26	23,6	20,8	13
Kn	2 · 10 <sup>11</sup>	1,78 · 10 <sup>10</sup>	1,08 · 10 <sup>9</sup>	4,4 · 10 <sup>5</sup>

Так как в спектре мало фотонейтронов с энергией 100 МэВ, то рассчитанной защиты от γ-излучения будет вполне достаточно.

Для баритобетона (ρ=3,5 г/м3) длина релаксации составляет 8 см, а толщина бетонной защиты для γ-излучения равна 1,3 м. Следовательно, число длин релаксации будет не 26, а только 16. Поэтому может возникнуть проблема с нейтронами в интервале ~50...100 МэВ. Значения L будут уточнены в ходе дальнейшей работы.

Активация оборудования системы транспортировки пучка будет происходить за счет образования радиоизотопов с периодами полураспада: 52Mn - 5,6 суток, 54Mn - 312 суток, 56Mn - 2,58 часа, 52Fe - 8,27 часа, 57Ni - 35,6 часа, 57Co - 270 суток, 51Cr - 27,7 суток и 64Cu - 12,8 часа. Равновесная активность каждого изотопа достигается за время работы ускорителя равное 3 периодам полураспада соответствующего радионуклида. При этом относительный

Взв. инв. №	
Подп. и дата	
Инв. № подл.	

Изм.	Кол.уч	Лист	№ док.	Подп.	Дата	<b>8590-ОВОС</b>	Лист
							48



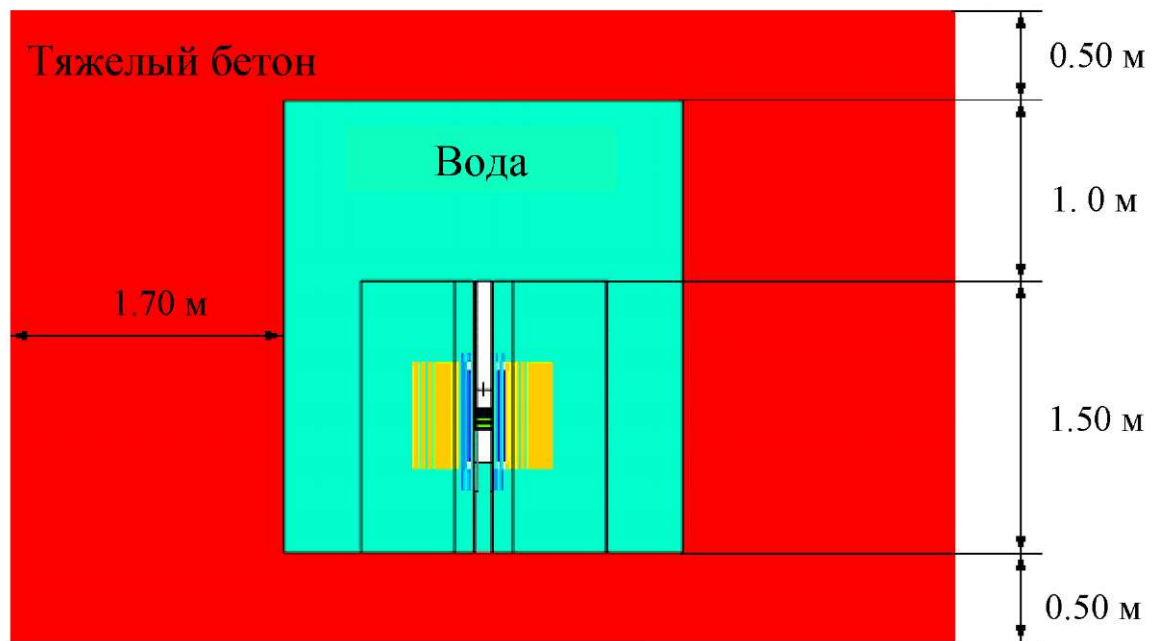


Рис. 8 Общий вид подкритической сборки, окруженной биологической защитой.

Исследования проведенные ННЦ ХФТИ показали, что использование стальной защиты перед бетонной защитой мало влияет на толщину биологической защиты в радиальном направлении. Поэтому далее в расчетах использовался тяжелый бетон с плотностью 4,8 г/см<sup>3</sup> для определения толщины биологической защиты. Было определено, что необходима толщина защиты в 1,80 м в радиальном направлении, чтобы обеспечить дозу 0,5 мгем/ч. Верхняя секция обеспечивает биологическую защиту от подкритической сборки и электронного пучка. Сверху и снизу подкритической сборки частично роль биологической защиты играет вода в бассейне, что значительно уменьшает требуемую толщину биологической защиты. Однако биологическая защита от пучка электронов очень усложняет конструкцию биологической защиты в верхней области. В вертикальном направлении напротив электропровода требуется 1,4 м толщины тяжелого бетона с плотностью 4,8 г/см<sup>3</sup>. Требуемая толщина бетона плавно снижается и на границе подкритической сборки необходима толщина бетона 0,6 м.

Карты радиационных доз в радиальном направлении и для верхней секции показаны на Рис. 1 и Рис. 2 соответственно.

Инв. № подл.	Подп. и дата	Взлп. инв. №							Лист
Изм.	Кол.уч	Лист	№ док.	Подп.	Дата	8590-0B0C		Формат А4	

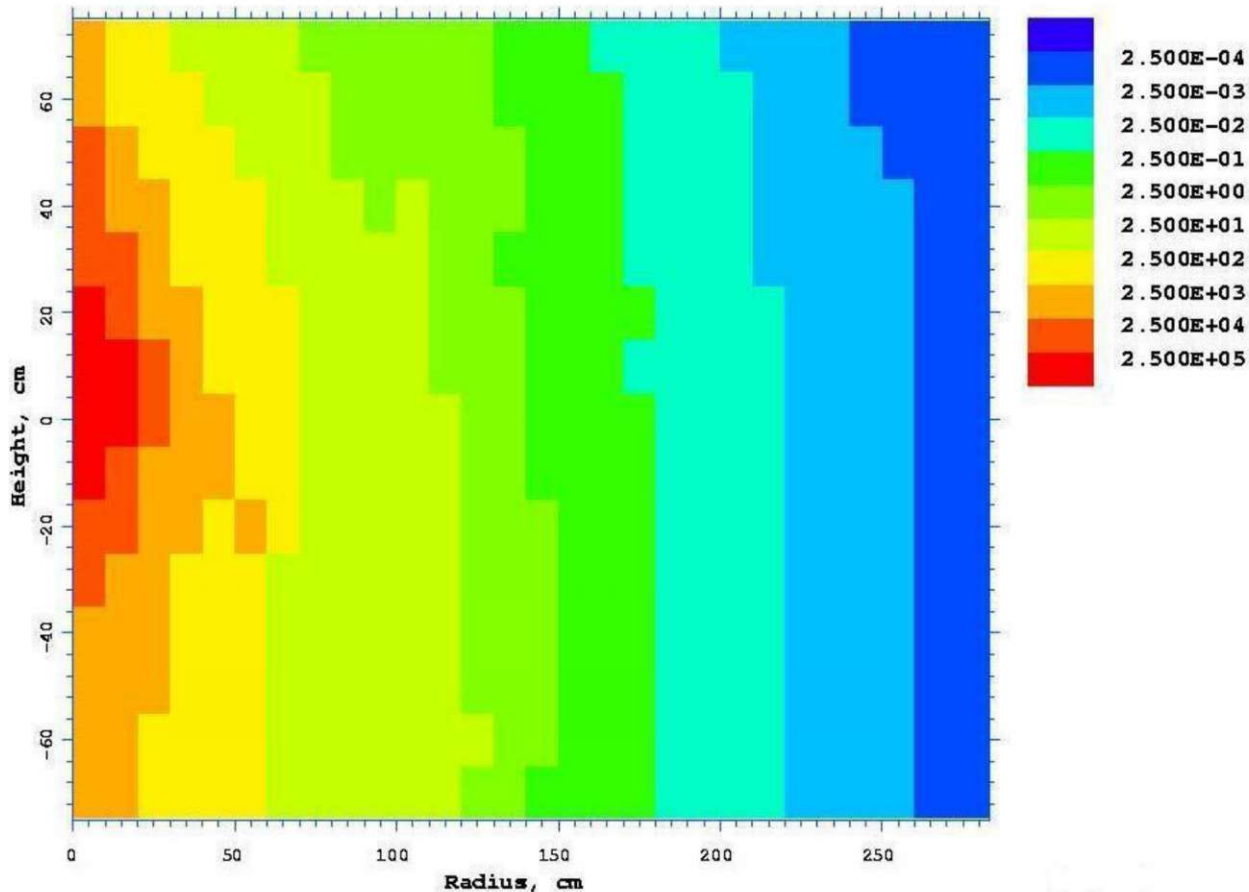


Рис. 1 Карта радиационной дозы в радиальном направлении для 182-см толщины защиты из тяжелого бетона (rem/hr).

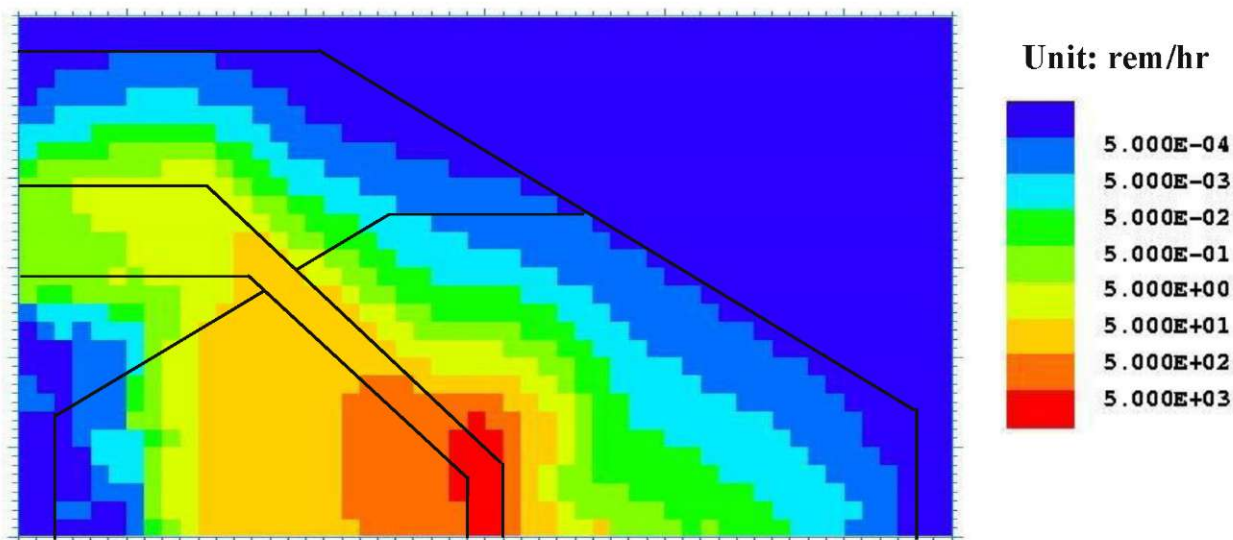


Рис. 2 Карта радиационной дозы верхней секции подкритической сборки (rem/hr)

### 5.3.4 Факторы радиационной опасности

во время работы в режиме ускорения, элементы и детали ускорителя, мишени, находившиеся под воздействием пучков ускоренных частиц, являются источниками ионизирующих излучений.

Радиационными факторами являются ИЯУ:

- ускоренные в ускорителе частицы (электроны);

Взап. инв. №	
Подп. и дата	
Инв. № подл.	

Изм.	Кол.уч	Лист	№ док.	Подп.	Дата

8590-0B0C

Лист  
51

- тормозное гамма-излучение, возникающее при попадании ускоренных частиц на детали ускорителя, мишени и т.д.
- фотонейтроны, возникающие при воздействии высокоэнергетичного тормозного гамма-излучения с веществом окружающей среды;
- вторичное излучение, состоящее из частиц, образовавшихся в результате реакций на мишенях, деталях ускорителя и веществе окружающей среды под воздействием пучков ускоренных частиц.
- наведенная радиоактивность на деталях ускорителя и мишенях, подвергшихся воздействию пучков ускоренных частиц;
- наведенная радиоактивность газов и аэрозолей в помещениях, через которые проходят пучки ускоренных частиц;
- рентгеновское излучение, образующееся при работе высоковольтных модуляторов и клистронных усилителей.

### 5.3.5 Прогноз радиационной обстановки

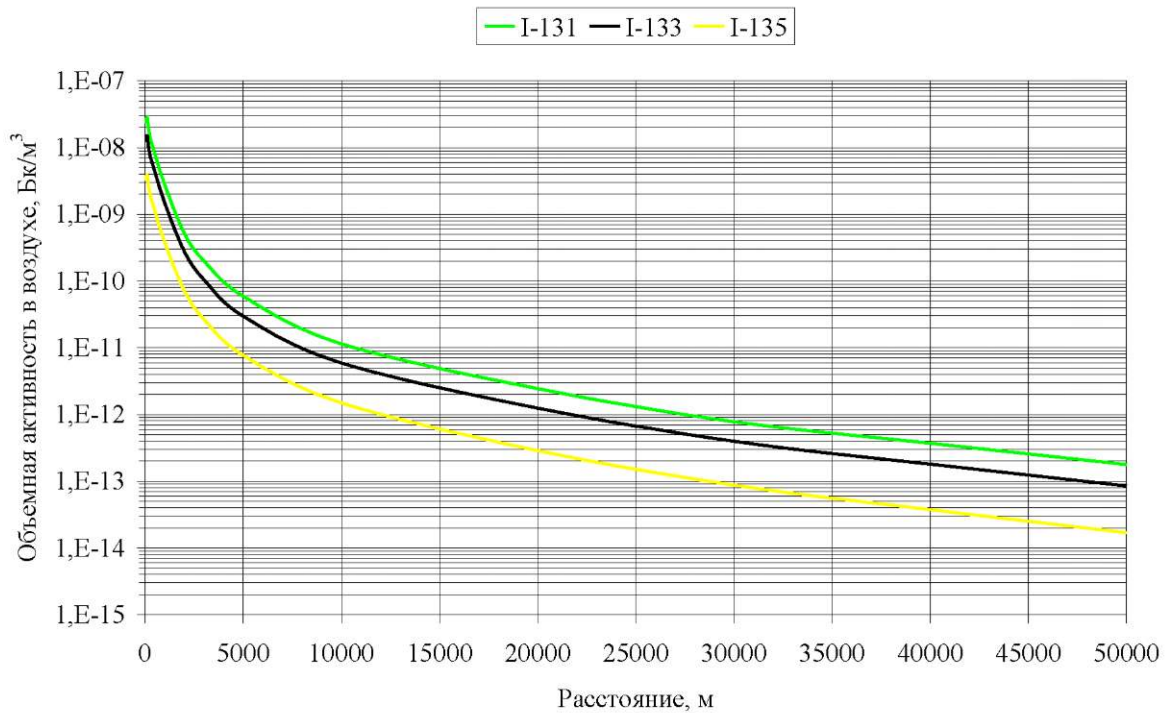
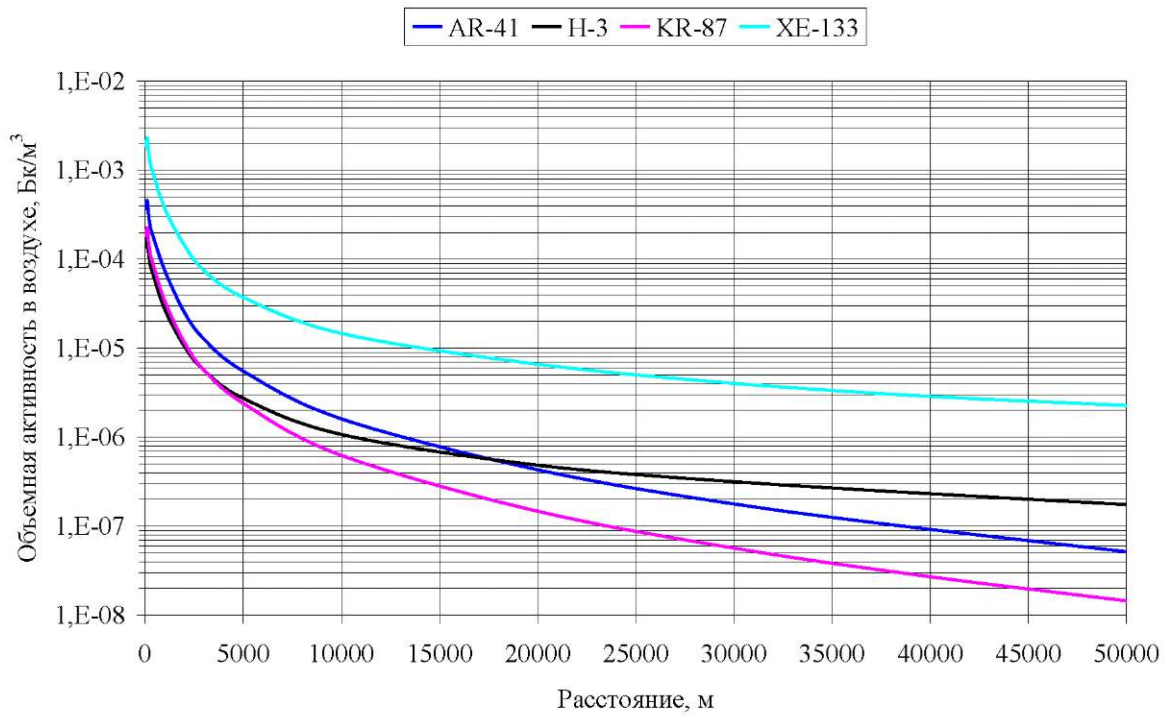
Прогноз радиационной обстановки выполнялся институтом УКРНИИЭП (см. Отчет о работе «Мероприятия по обеспечению безопасности для ядерной установки ННЦ ХФТИ «Источник нейтронов, основанный на подкритической сборке, управляемой линейным ускорителем электронов». Проведены расчеты и обосновано радиационное воздействие на окружающую природную среду и население в процессе нормальной работы и при максимальной проектной аварии для исследовательской ядерной установки ННЦ ХФТИ.

Для проведения расчетов использованы программные комплексы PC COSYMA, разработанный в National Radiological Protection Board (Национальный комитет по радиационной защите, Англия) для аварийных ситуаций, и CAP88, разработанный в Environmental Protection Agency (Агентство по охране окружающей среды, США) для режима нормальной работы установки, а также методические рекомендации: "Контрольные уровни радиационных параметров на атомных станциях" и "Порядок установления допустимых уровней сбросов и выбросов АЭС Украины".

На рис. 11–15 приведены результаты расчетов объемных активностей основных радионуклидов в приземном слое атмосферного воздуха от расстояния, а на рис. 15 – результаты расчетов плотности выпадений.

Инв. № подл.	
Подп. и дата	
Взап. инв. №	

Изм.	Кол.уч	Лист	№ док.	Подп.	Дата	<b>8590-ОВОС</b>	Лист
							52



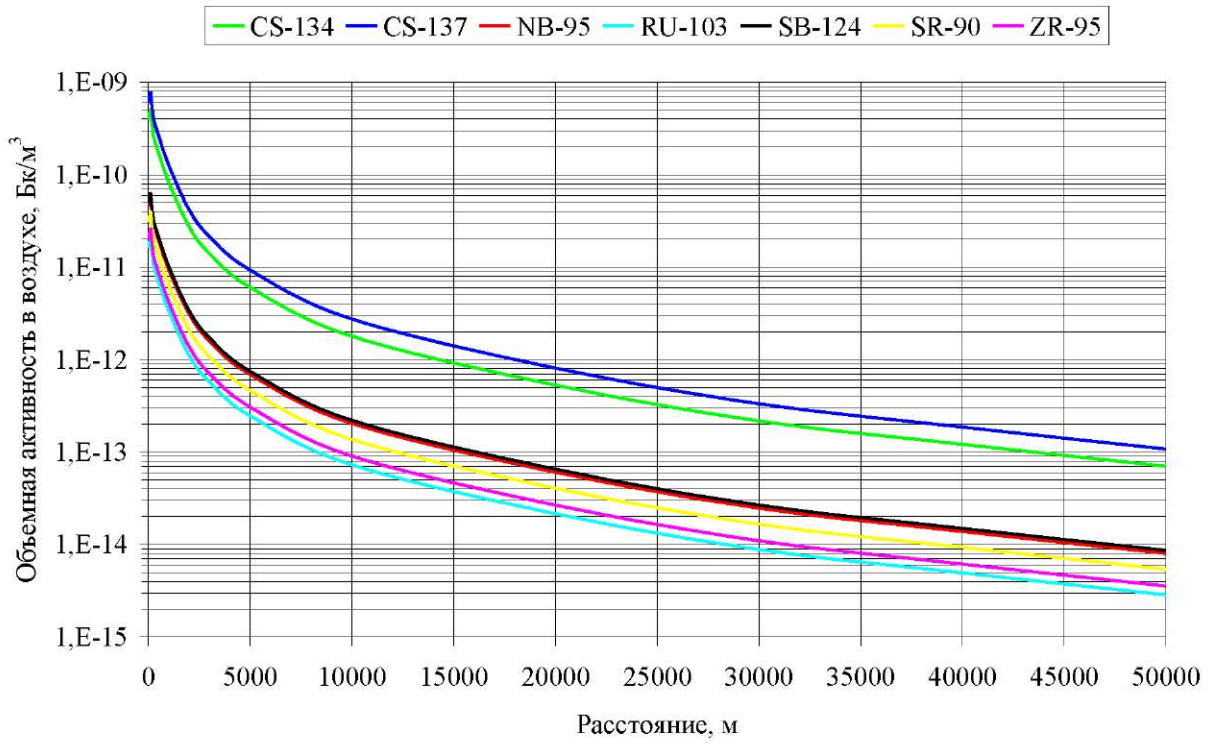
**Рисунок 11 – Зависимости ожидаемых объемных активностей ИРГ, трития и йода радионуклидов в приземном слое атмосферного воздуха от расстояния (до 50 км)**

Инв. № подл.	Подп. и дата	Взлп. инв. №

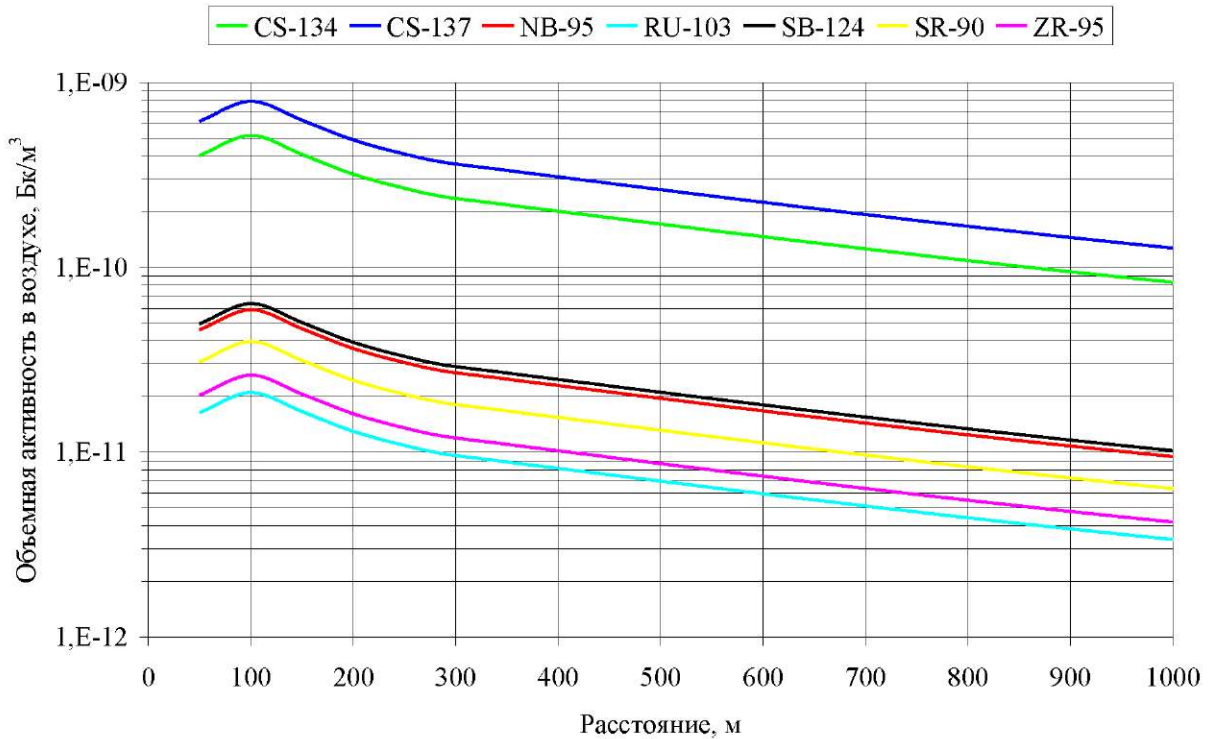
Изм.	Кол.уч	Лист	№ док.	Подп.	Дата

8590-ОВОС





**Рисунок 12 – Зависимости ожидаемых объемных активностей аэрозолей в приземном слое атмосферного воздуха от расстояния (до 50 км)**



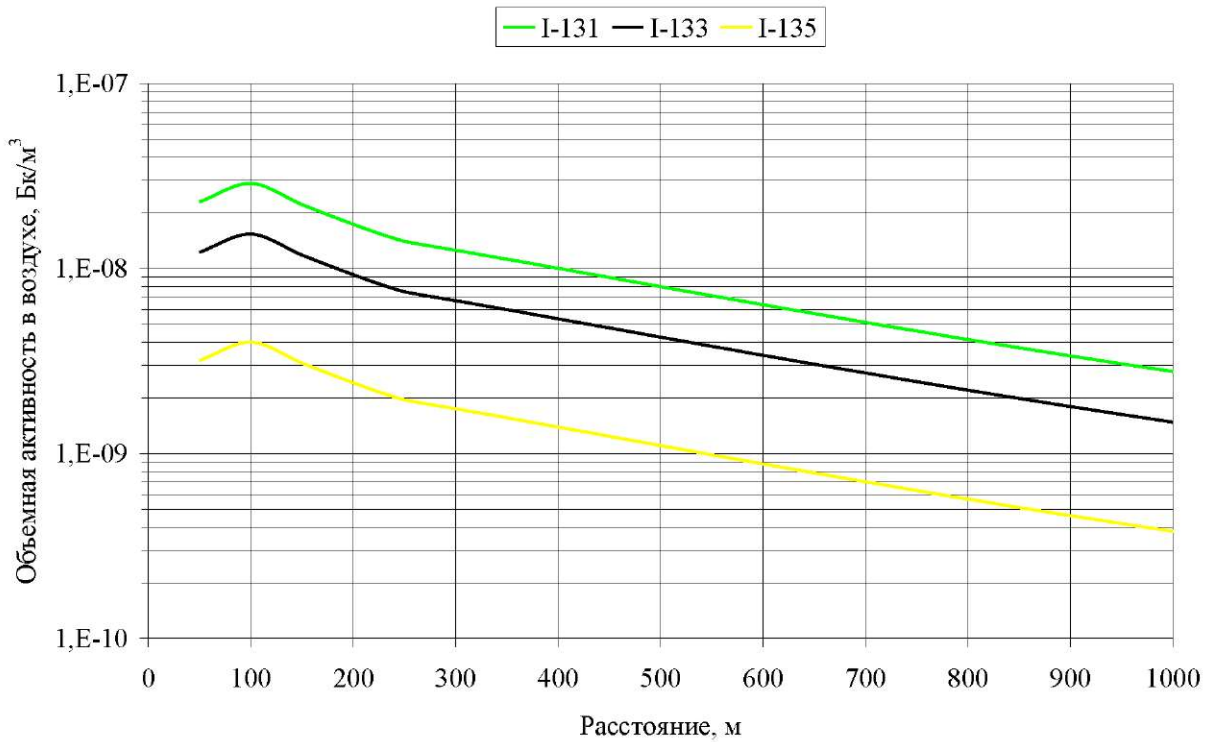
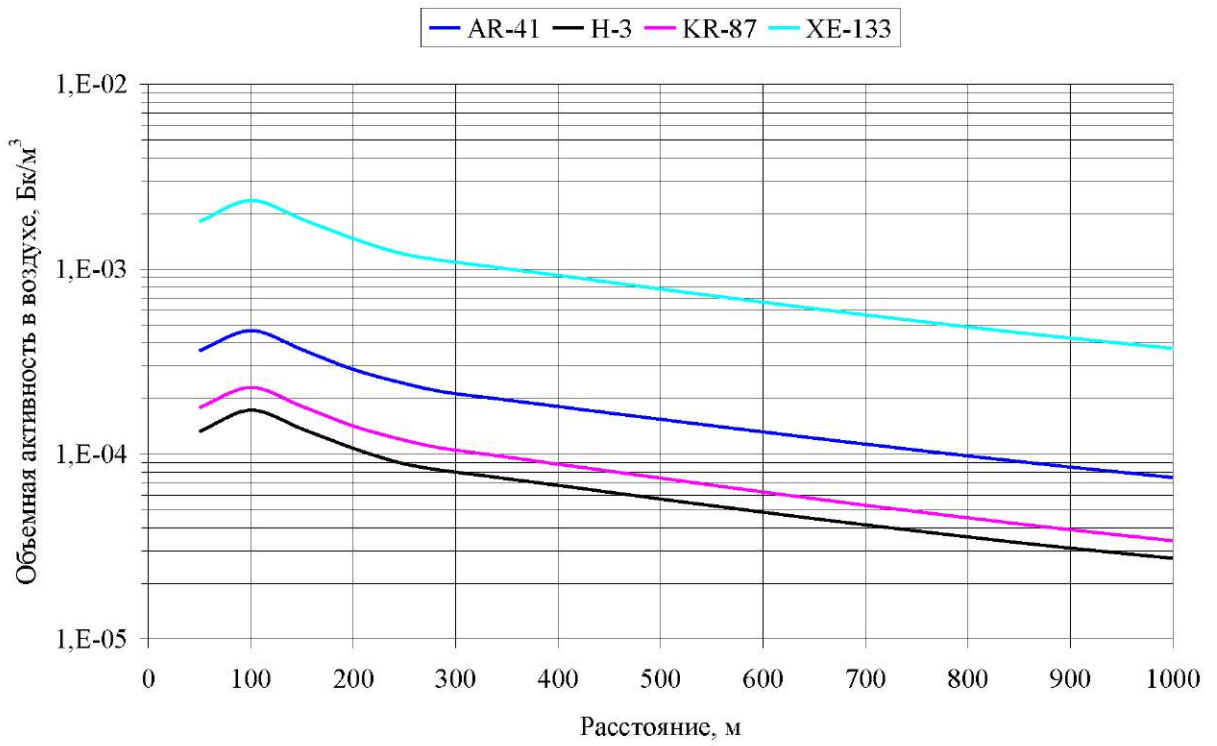
**Рисунок 13 – Зависимости ожидаемых объемных активностей аэрозолей в приземном слое атмосферного воздуха от расстояния (до 1 км)**

Инв. № подл.	Подп. и дата	Взаш. инв. №

Изм.	Кол.уч	Лист	№ док.	Подп.	Дата

8590-ОВОС





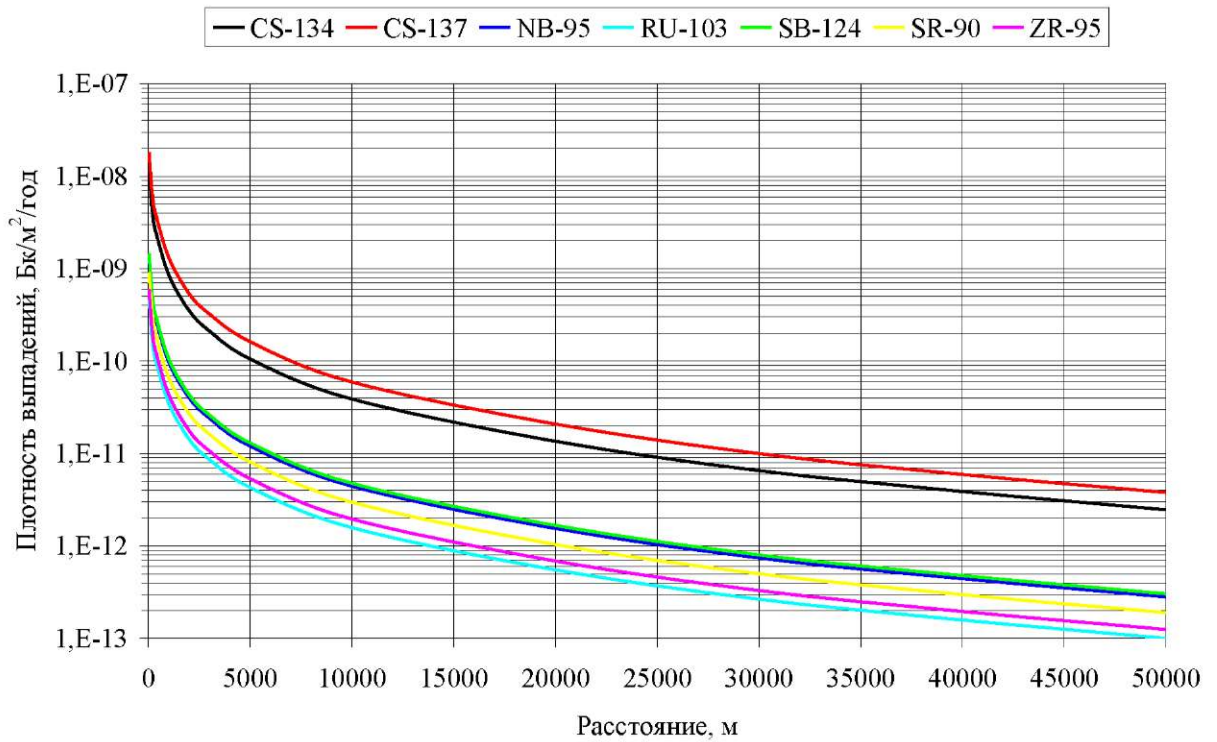
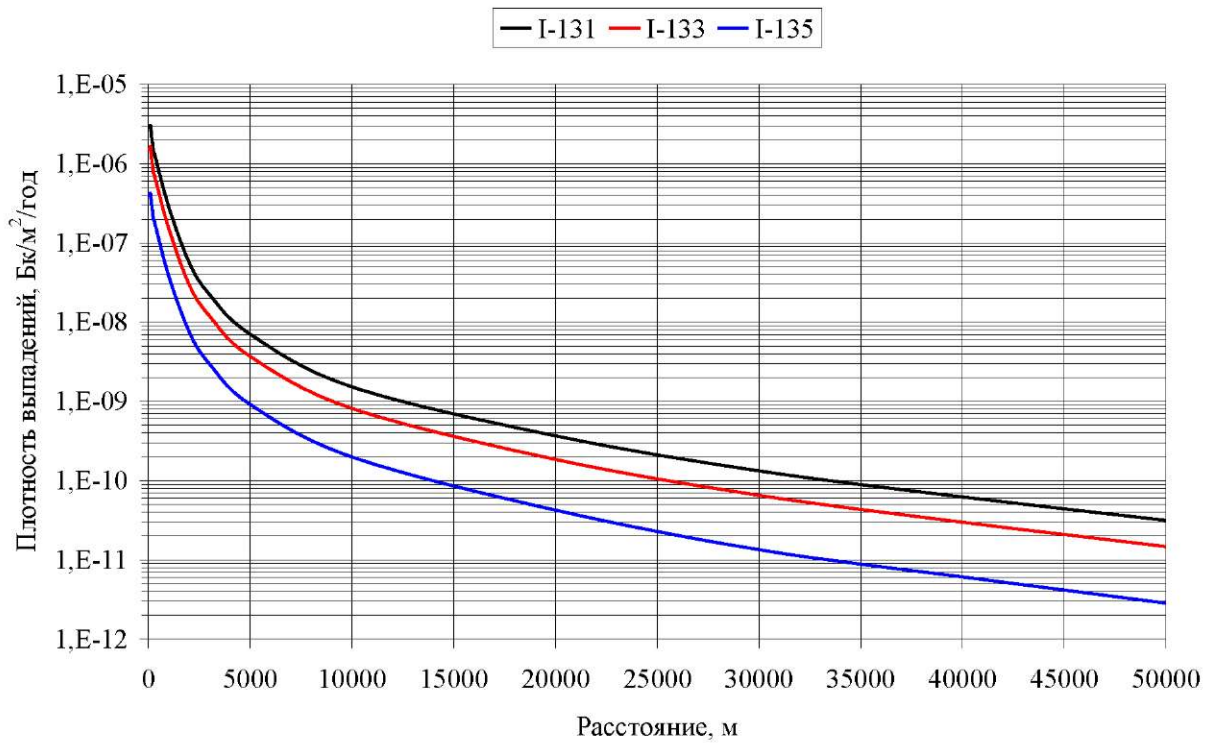
**Рисунок 14 – Зависимости ожидаемых объемных активностей ИРГ, трития и йода радионуклидов в приземном слое атмосферного воздуха от расстояния (до 1 км)**

Как видно из вышеприведенных рисунков максимальные активности ожидаются на расстоянии 100 м, и к расстоянию 400 м, на котором расположены ближайшие здания, где проживает местное население, спадают примерно в 2 раза. Максимальные значения ожидаются для ИРГ и трития – до 0,0024 Бк/м<sup>3</sup>.

Инв. № подл.	Взаш. инв. №
	Подп. и дата

Изм.	Кол.уч	Лист	№ док.	Подп.	Дата

8590-ОВОС



**Рисунок 15 – Зависимости ожидаемых выпадений радионуклидов на поверхность почвы от расстояния**

Как и для объемных активностей в атмосферном воздухе максимальные активности выпадений ожидаются на расстоянии 100 м, и к расстоянию 400 м, на котором расположены ближайшие здания, где проживает местное население, спадают примерно в 2 раза. Максимальные значения ожидаются для изотопов йода – до 3E-6 Бк/м2/год.

Взаш. инв. №	
Подп. и дата	
Инв. № подл.	

Изм.	Кол.уч	Лист	№ док.	Подп.	Дата

8590-ОВОС

Зависимость эффективной дозы облучения человека от расстояния для харьковской ИЯУ приведено на рис. 3.6, 3.7.

Как следует из приведенных данных, максимальная доза достигается на расстоянии 100 м от установки и равняется величине 1,0 нЗв/год.

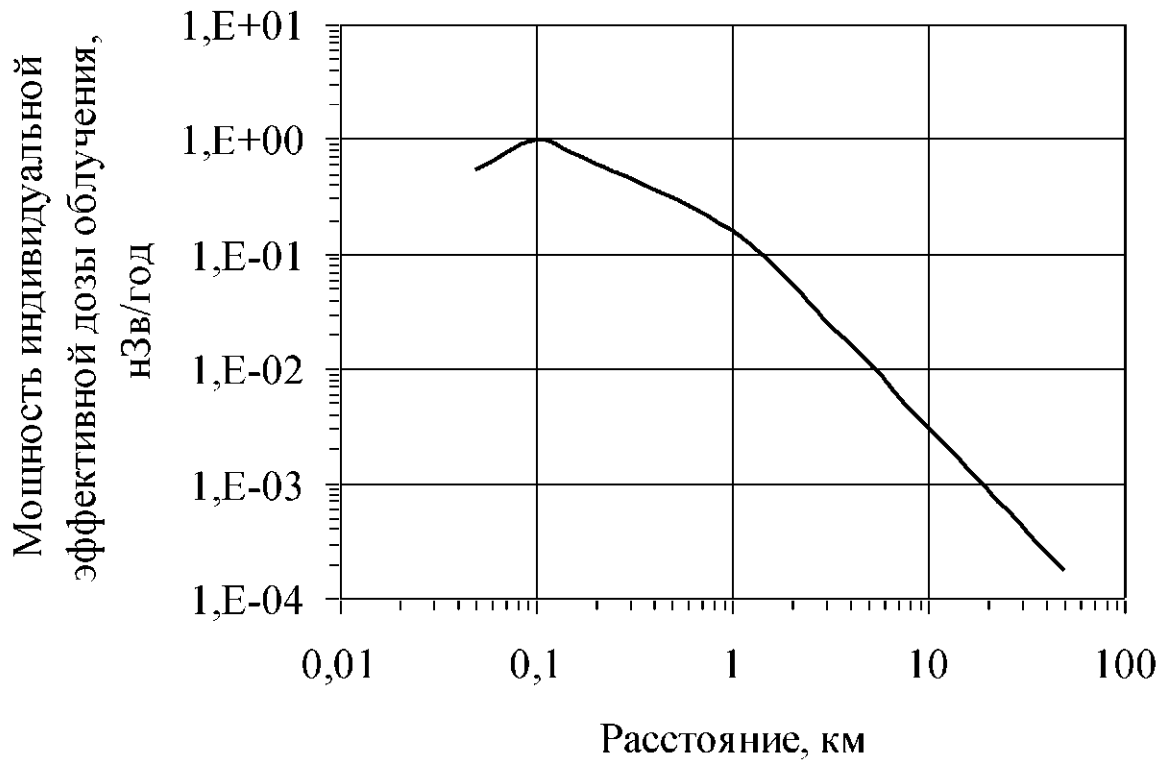


Рисунок 16 – Зависимости ожидаемых доз облучения населения от расстояния (до 50 км)

На рис. 18–21 приведены вклады разных радионуклидов и путей облучения в дозы облучения населения для двух расстояний – 400 м (ближайшее здание где проживает население) и 21 км (граница с Россией).

Инв. № подл.	Подп. и дата	Взап. инв. №					8590-ОВОС	Лист
			Изм.	Кол.уч	Лист	№ док.		Подп.

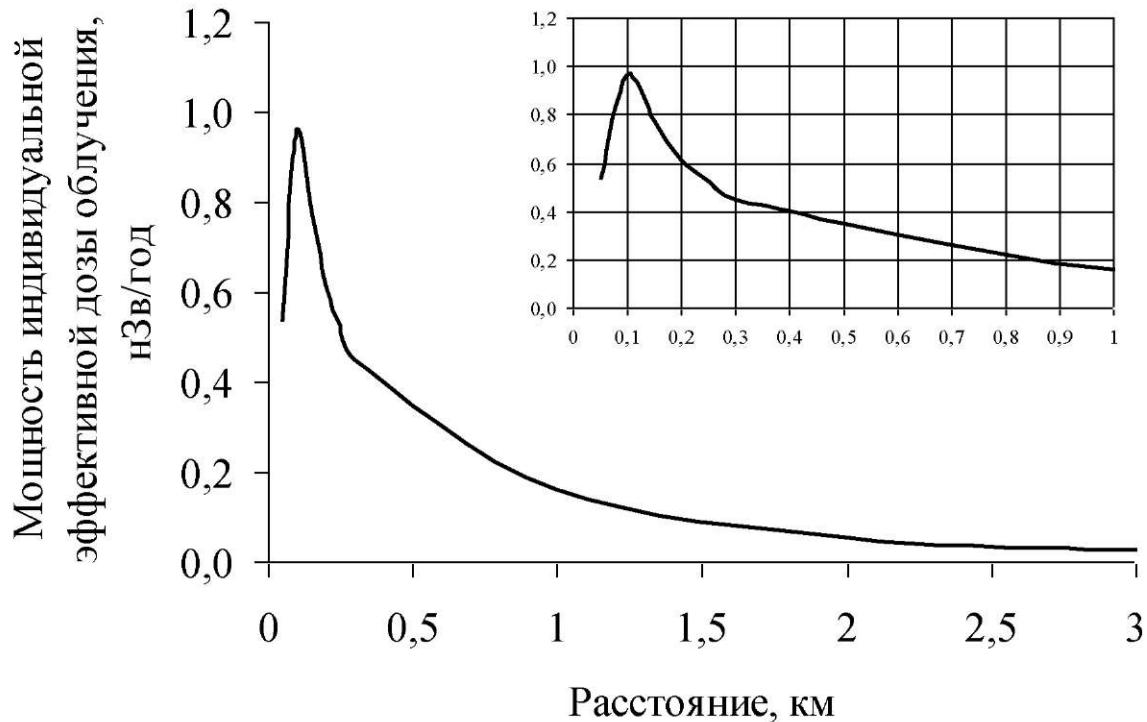
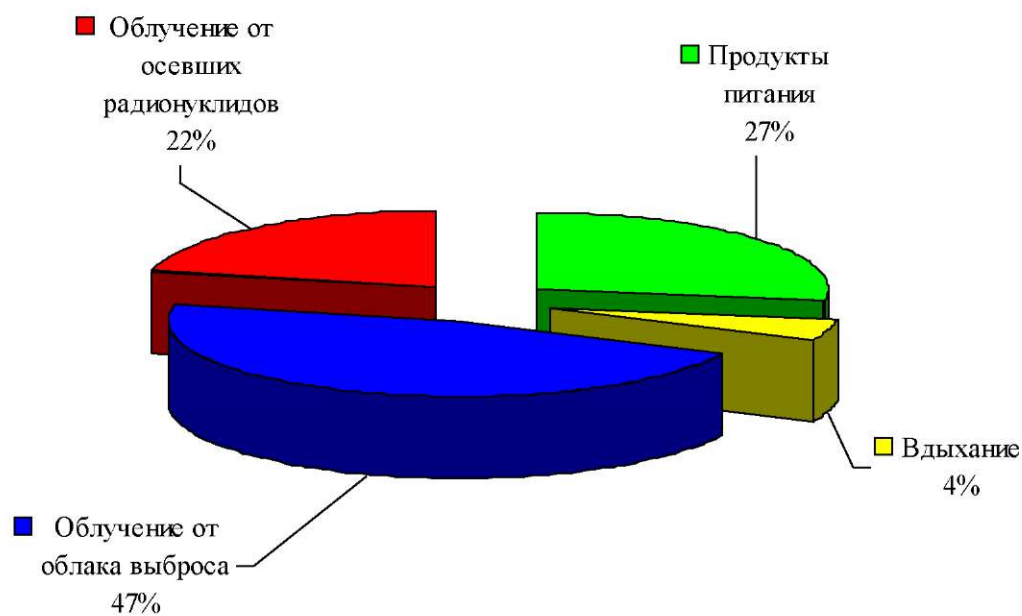


Рисунок 17 – Зависимости ожидаемых доз облучения населения от расстояния (до 1 и 3 км)



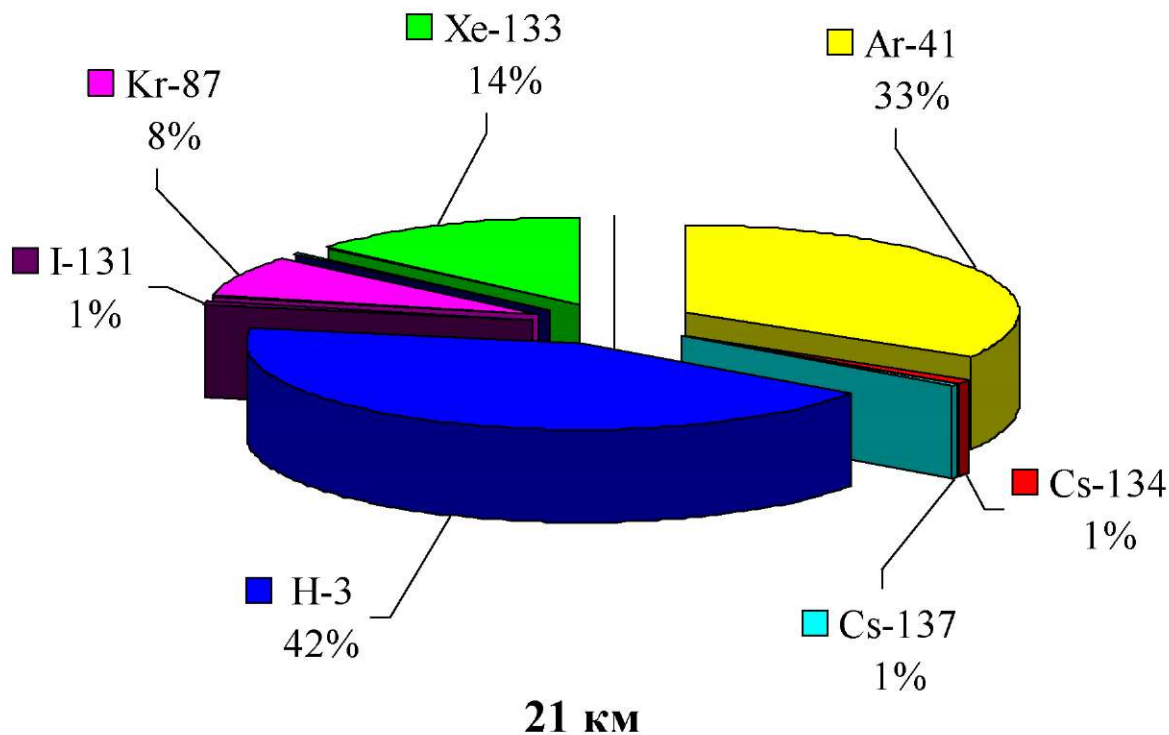
400 м

Рисунок 18 – Вклад разных путей облучения в дозы облучения населения на расстоянии 400 м

Инв. № подл.	Взаш. инв. №	Подп. и дата				8590-ОВОС	Лист 58
		Изм.	Кол.уч	Лист	№ док.		
							Формат А4







**Рисунок 21 – Вклад разных радионуклидов в дозы облучения населения на расстоянии 21 км**

Как следует из приведенных данных, максимальная ожидаемая доза достигается на расстоянии 100 м от установки и равняется величине 1,0 нЗв/год. До ближайшего здания, где проживает население (400 м) доза спадает примерно в два раза и составляет 0,4 нЗв/год.

В приложении показано расположение харьковской ИЯУ относительно селитебной зоны п. Пятихатки. Ближайшие жилые здания расположены на расстоянии 390–400 м от ИЯУ. Считаем, критическая группа населения находится на расстоянии 400 м от ИЯУ. Максимальная эффективная доза, которую может получить индивидуум из критической группы от выбросов ИЯУ равна 0,4 нЗв/год при нормальных условиях эксплуатации. Это очень незначительная доза. Согласно НРБУ-97 суммарная квота за счет воздушного пути формирования дозы от предприятия, использующего ядерные реакторы, не должна превышать 40 мкЗв/год. Таким образом, критическая группа населения, проживающая в п. Пятихатки может получить дополнительную дозу от работы ИЯУ на уровне 0,001% от квоты, разрешенной НРБУ-97. Для сравнения, население Украины от естественных источников радиации получает в год дозу примерно равную 4,6 мЗв/год [42].

Как следует из приведенных результатов, максимальный вклад дает <sup>41</sup>Ar. Заметный относительный вклад вносят такие радионуклиды, как <sup>3</sup>H, <sup>87</sup>Kr, <sup>131</sup>I и <sup>133</sup>Xe.

До границы с ближайшим сопредельным государством – Российской федерацией, от ИЯУ примерно 21 км на север. По расчетам население РФ, проживающее на границе с

Взаи. инв. №	
Подп. и дата	
Инв. № подл.	

Изм.	Кол.уч	Лист	№ док.	Подп.	Дата	8590-ОВОС	Лист
							60

Харьковской областью, может получать в год дозы 0,0029 нЗв/год. Эта величина примерно на 9 порядков меньше дозы от естественного радиационного фона. Поэтому можно утверждать, что при нормальной работе харьковской ИЯУ никакого влияния на население РФ не будет.

### 5.3.6 Радиационные аварии, сопровождающиеся радиоактивным загрязнением промплощадки и окружающей природной среды

Оценка радиационных аварий см. отчет института УкрНИИЭП. Радиационные аварии рассмотрены на основе исходного события (ИС) для анализа проектных аварийных ситуаций. ИС выбраны на основе «Перечня исходных событий для расчетного анализа проектных аварий на ИЯУ» (Приложение 4 к «Требованиям к содержанию отчета по обоснованию безопасности исследовательских ядерных установок» НП-049-03) с учетом специфики проектируемой установки.

Все рассмотренные случаи не приводят к существенному изменению радиационной обстановки в СЗЗ и ЗН, а, следовательно, и не могут влиять на дополнительное облучение населения.

В данном разделе мы рассмотрим гипотетическую аварию, в результате которой происходит расплавление ТВЭЛов и выброс продуктов деления (ИРГ, изотопы йода, цезия и теллура) в конце «компания». Количественные значения этих радионуклидов взяты из табл. 2.4 для ИЯУ.

Результаты расчетов доз облучения населения в результате аварии в зависимости от расстояния и времени после аварии приведены на рис. 22-26.

Около 10 % дозы в зависимости от расстояния будет реализовано в первые сутки после аварии, 40–45 % в зависимости от расстояния – в первые 10 суток, 67–75 % – в первые 100 суток, 77–83 % – в первый год после аварии.

В первые сутки 70 % дозы будут обуславливаться вдыханием и около 30 % внешним облучением от осевших радионуклидов, в дальнейшем относительный вклад внешнего облучения от осевших радионуклидов будет возрастать до 44 %, а вдыхания – снижаться до 55 %.

Инв. № подл.	Подп. и дата	Взап. инв. №					8590-ОВОС	Лист
			Изм.	Кол.уч	Лист	№ док.		Подп.

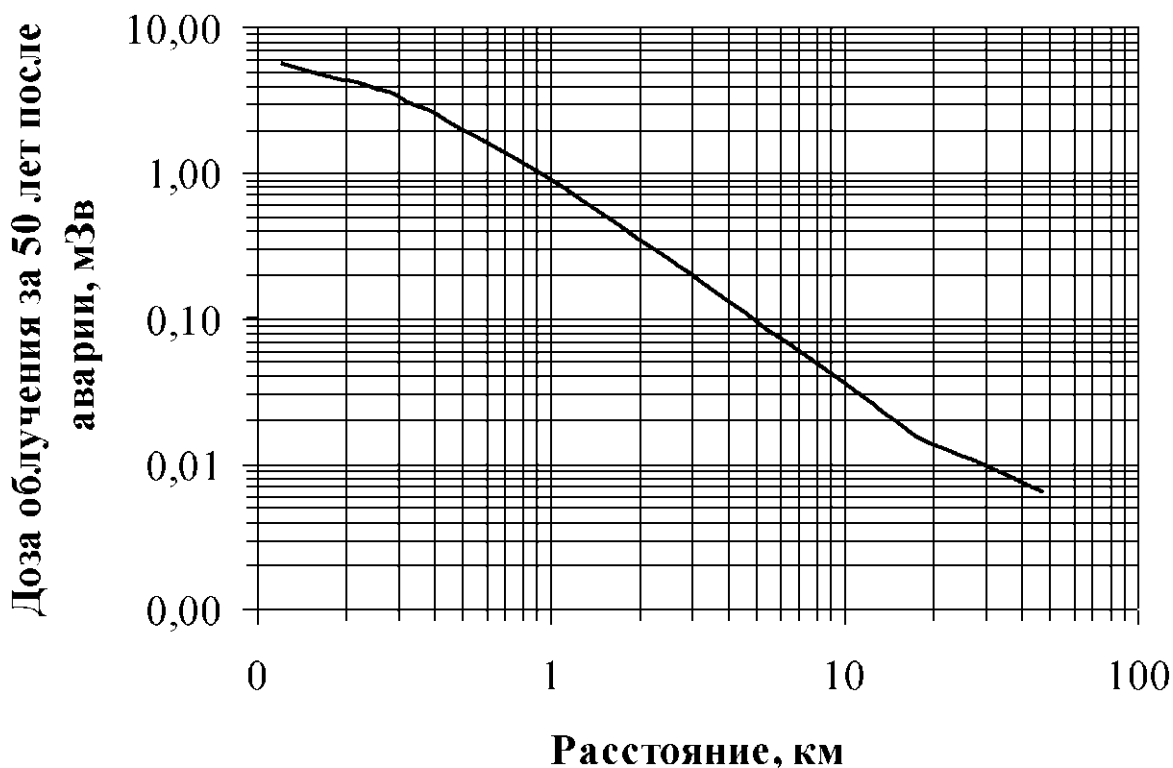
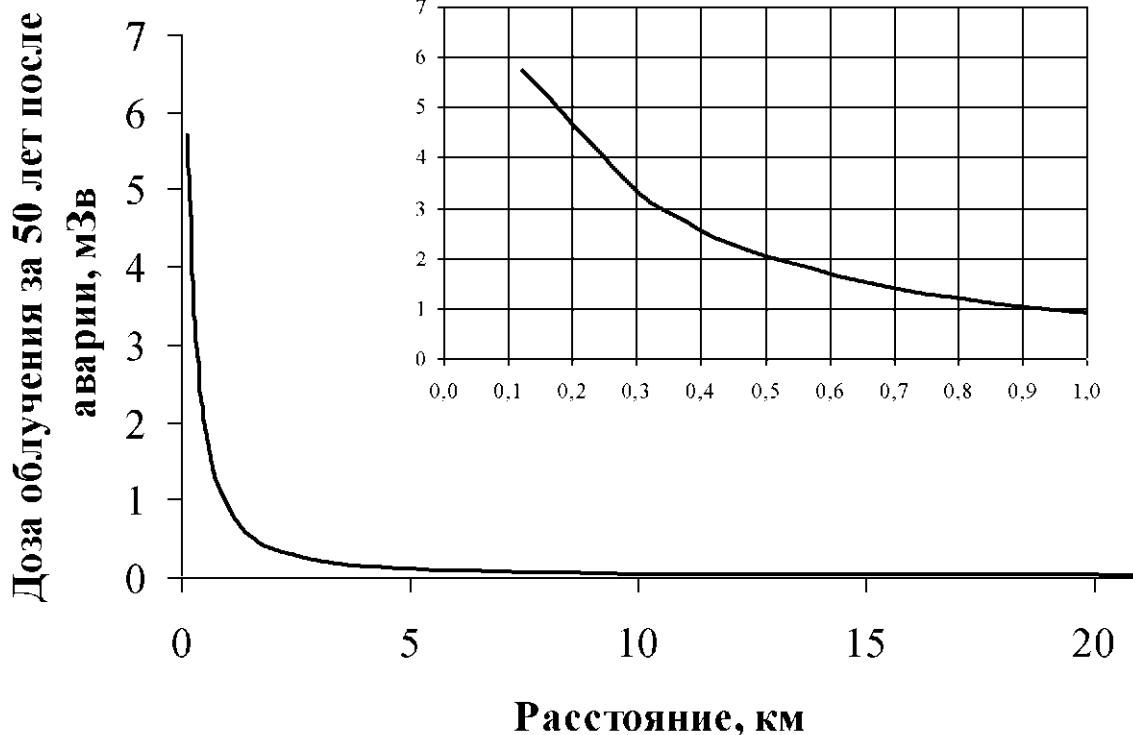


Рисунок 22 – Зависимость дозы облучения от расстояния за 50 лет после аварии от расстояния

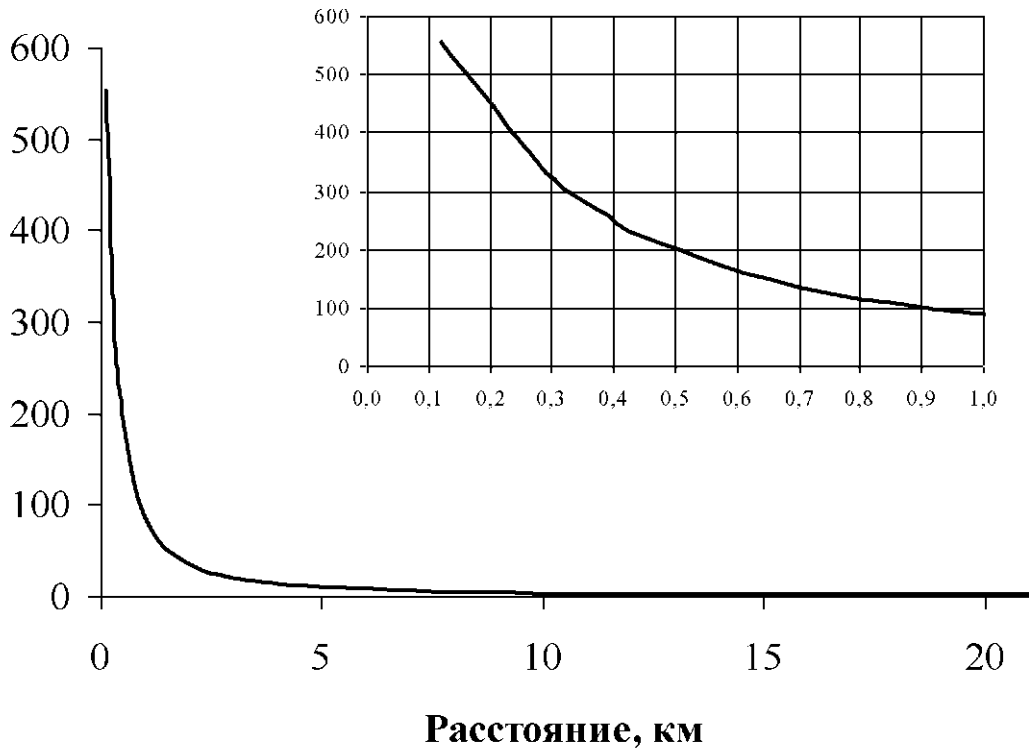
Инв. № подл.	Подп. и дата	Взаш. инв. №

Изм.	Кол.уч	Лист	№ док.	Подп.	Дата

8590-ОВОС



Доза облучения в первые сутки  
после аварии, мкЗв



Доза облучения в первые сутки  
после аварии, мкЗв

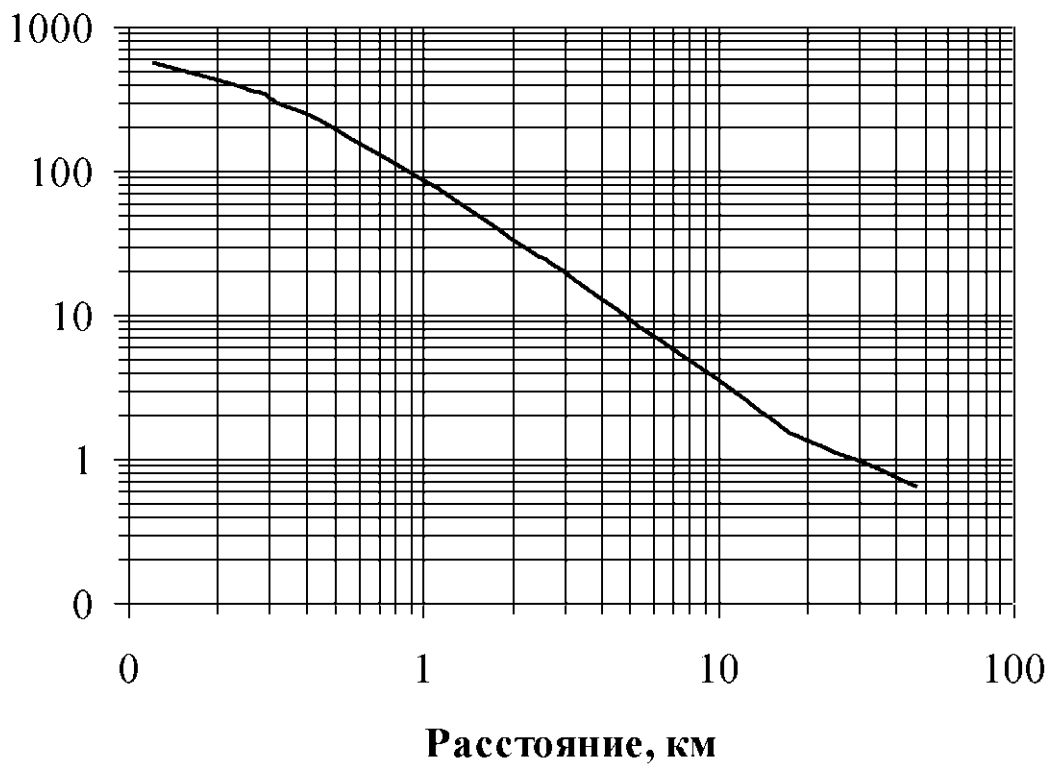


Рисунок 23 – Зависимость дозы облучения от расстояния за первые сутки после аварии от расстояния

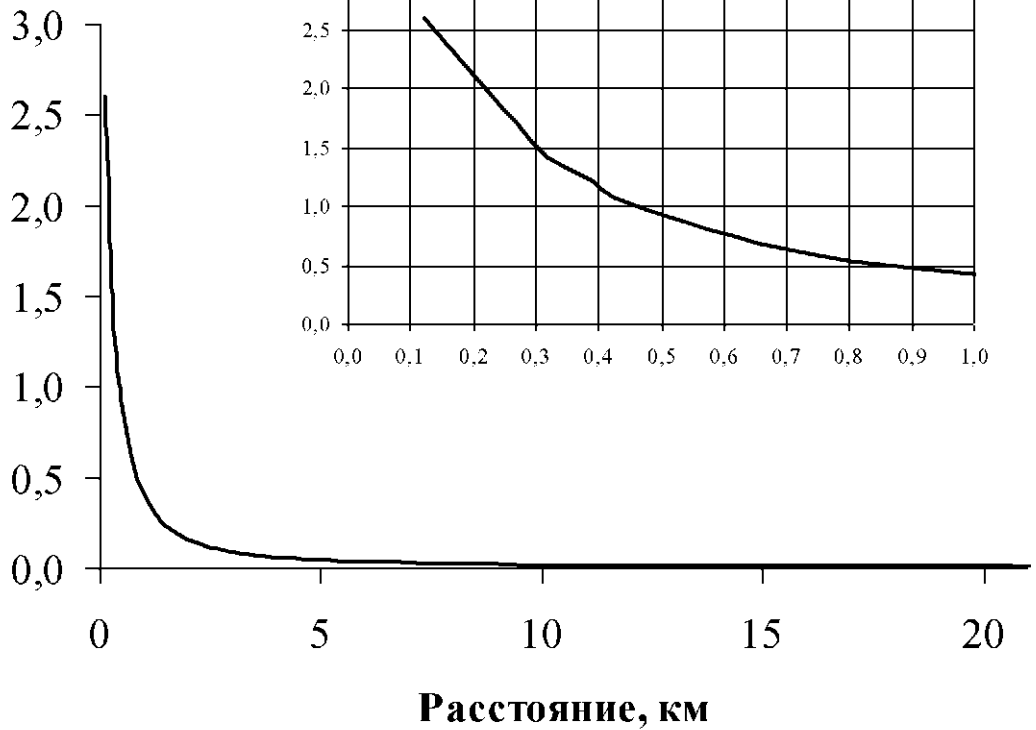
Инв. № подл.	Подп. и дата	Взаи. инв. №

Изм.	Кол.уч	Лист	№ док.	Подп.	Дата

8590-ОВОС

Лист  
63

Доза облучения за 10 суток  
после аварии, мЗв



Доза облучения за 10 суток после  
аварии, мЗв

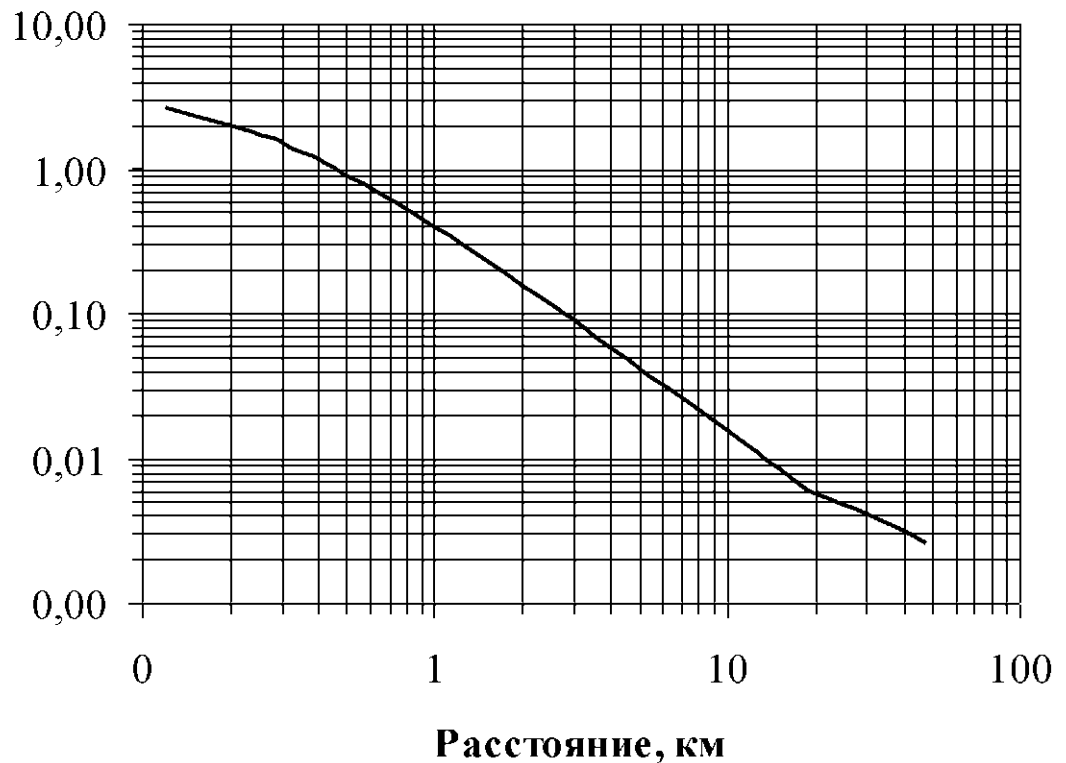


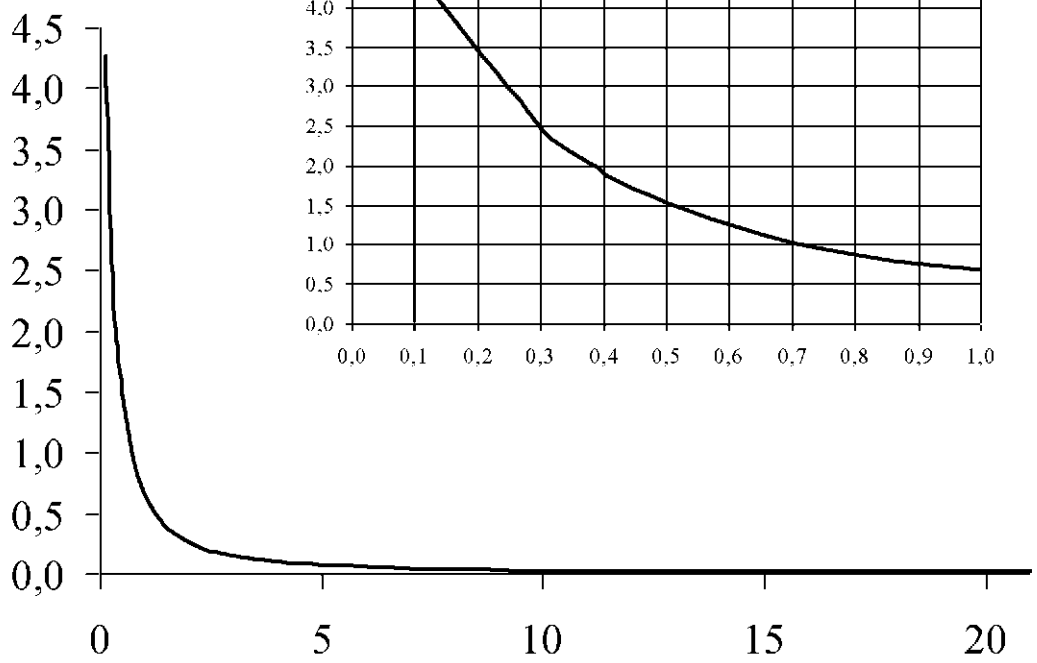
Рисунок 24 – Зависимость дозы облучения от расстояния за 10 суток после аварии от расстояния

Инв. № подл.	Подп. и дата	Взаи. инв. №

Изм.	Кол.уч	Лист	№ док.	Подп.	Дата

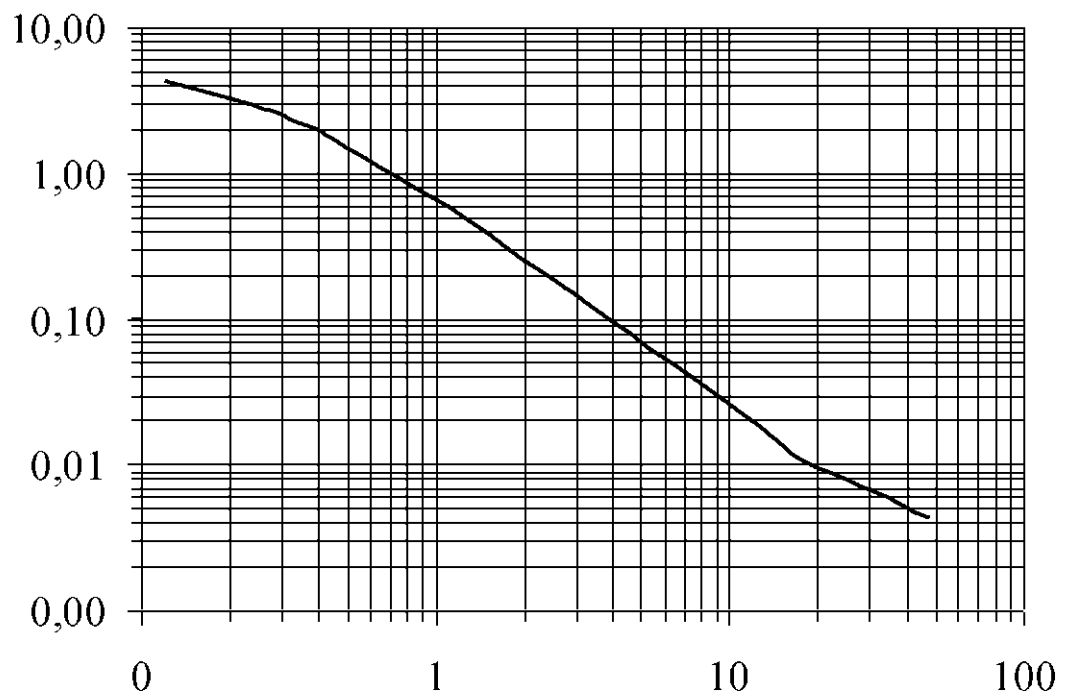
8590-ОВОС

Доза облучения за 100 суток  
после аварии, мЗв



Расстояние, км

Доза облучения за 100 суток  
после аварии, мЗв



Расстояние, км

Рисунок 25 – Зависимость дозы облучения от расстояния за 100 суток после аварии от расстояния

Инв. № подл.	Подп. и дата	Взаи. инв. №

Изм.	Кол.уч	Лист	№ док.	Подп.	Дата

8590-ОВОС

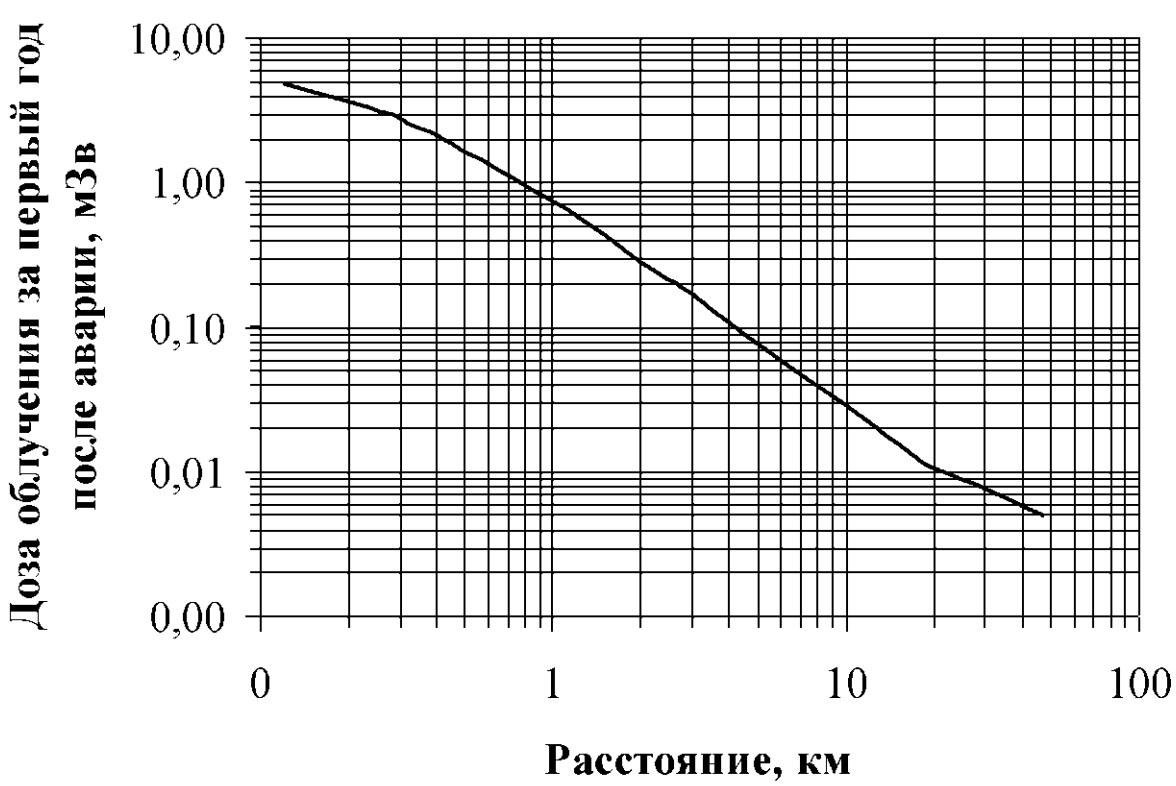
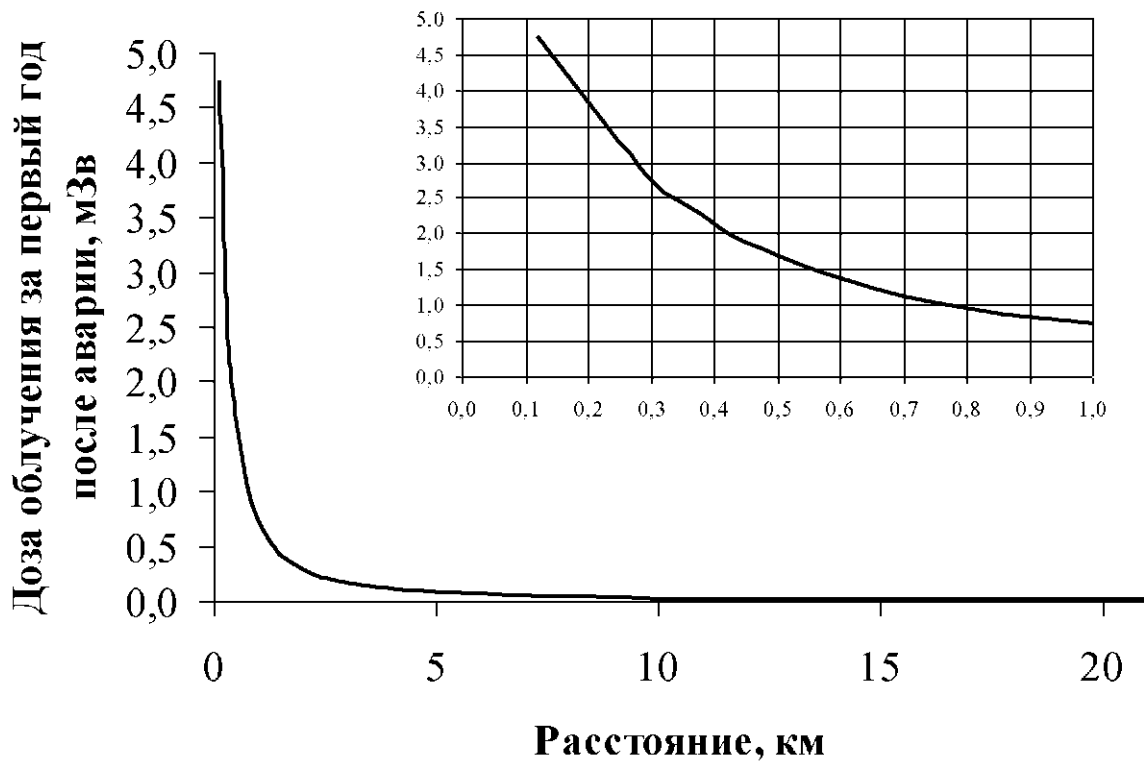


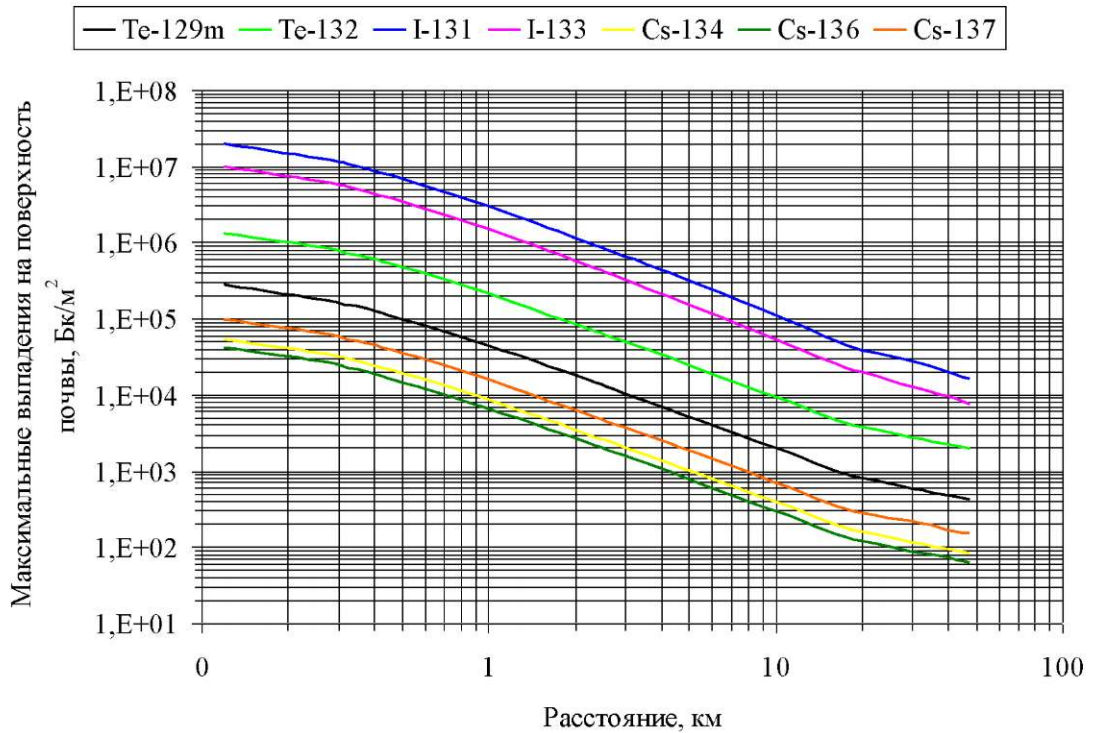
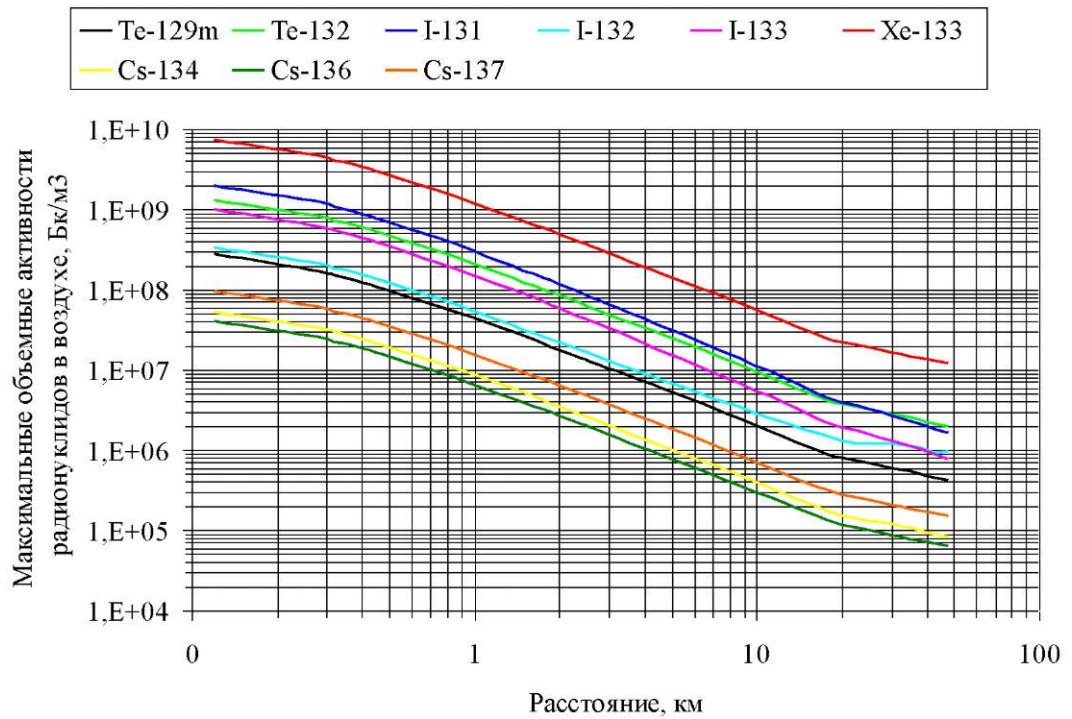
Рисунок 26 – Зависимость дозы облучения от расстояния за год после аварии от расстояния

Инв. № подл.	Подп. и дата	Взаи. инв. №

Изм.	Кол.уч	Лист	№ док.	Подп.	Дата

8590-ОВОС

На рис. 27 приведены максимальные ожидаемые объемные активности радионуклидов в атмосферном воздухе и максимальные ожидаемые выпадения на поверхность почвы.



**Рисунок 27 – Зависимости максимальных ожидаемых объемных активностей радионуклидов в атмосферном воздухе и максимальных ожидаемых выпадений на поверхность почвы от расстояния**

Инв. № подл.	Подп. и дата	Взаш. инв. №

Изм.	Кол.уч	Лист	№ док.	Подп.	Дата

8590-ОВОС

В табл.5.1 приведены ожидаемые дозы облучения на минимальном расстоянии, где проживает население, и на границе с Россией.

**Таблица 13 – Ожидаемые дозы облучения на минимальном расстоянии, где проживает население, и на границе с Россией**

Расстояние	Ожидаемые дозы облучения на минимальном расстоянии, где проживает население, мЗв				
	1 сутки	10 суток	100 суток	1 год	50 лет
0,4 км	0,24	1,1	1,8	2,1	2,5
	Ожидаемые дозы облучения на границе с Россией, мЗв				
21 км	$1,3 \cdot 10^{-3}$	$5,7 \cdot 10^{-3}$	$9,4 \cdot 10^{-3}$	$10,6 \cdot 10^{-3}$	$13,4 \cdot 10^{-3}$

Таким образом, в случае аварии на подкритической сборке в конце «компании» максимальная ожидаемая доза облучения в первые сутки аварии будет равна 0,24 мЗв, что составляет около 0,05 % , а за 50 лет составит около 50 % среднегодовой дозы для населения Украины (4,6 мЗв) от естественных источников облучения. На границе с Россией ожидаемые дозы существенно меньше 1 мЗв.

Инв. № подл.	Подп. и дата	Взап. инв. №							Лист
			<b>8590-ОВОС</b>						
Изм.	Кол.уч	Лист	№ док.	Подп.	Дата				Формат А4







мозг) <sup>1</sup>		
Легкие	6	4,34E-02
Кожа	3	4,05E-03
Щитовидная железа	5	1,45E-04
Хрусталик глаза	2	1,36E-04
Гонады	2	3,13E-04
Плод	0,1	4,34E-02

<sup>1</sup> Как правило применяется при внешнем облучении

Как следует из приведенных результатов расчета, см. третий столбец в табл. 6.1, ни по одному из приведенных критериев максимальная проектная авария на харьковской ИЯУ не потребует осуществления экстренных контрмер.

При проведении экстренных вмешательств допускается планируемое повышенное облучение персонала, осуществляющего работы, связанные с контрмерами подобного типа. Поэтому для случая МПА на харьковской ИЯУ уровни предотвращаемой годовой эквивалентной дозы хронического облучения органов и тканей аварийной персоналу, при которых экстренное вмешательство безусловно оправдано не рассматриваются и не оцениваются.

### Неотложные контрмеры

В соответствие с НРБУ-97 основными и наиболее эффективными неотложными контрмерами на начальной фазе аварии являются:

- укрытие;
- эвакуация;
- йодная профилактика;
- ограничение пребывания лиц из населения на открытом воздухе.

Введение неотложных контрмер определено с помощью двух границ: нижней границы оправданности и верхнего уровня безусловной оправданности, см. табл. 6.2 (НРБУ-97).

**Таблица 15 – Нижние границы оправданности и уровни безусловной оправданности для неотложных контрмер**

	Предотвращаемая доза за первые 2 недели после аварии			
	Нижние границы оправданности		Уровни безусловной оправданности	
	мЗв	мГр	мЗв	мГр

Взаи. инв. №	
Подп. и дата	
Инв. № подл.	

Изм.	Кол.уч	Лист	№ док.	Подп.	Дата

8590-ОВОС

Лист  
71

Контрмера	На все тело	На щитовидную железу	На кожу	На все тело	На щитовидную железу	На кожу
Укрытие	5	50	100	50	300	500
Эвакуация	50	300	500	500	1000	3000
Йодная профилактика						
дети	-	50 <sup>1</sup>	-	-	200 <sup>1</sup>	-
взрослые	-	200 <sup>1</sup>	-	-	500 <sup>1</sup>	-
Ограничение пребывания на открытом воздухе						
дети	1	20	50	10	100	300
взрослые	2	100	200	20	300	1000

<sup>1</sup> Ожидаемая доза при внутреннем облучении радиоизотопами йода, поступающего в организм в течение первых двух недель после начала аварии

Основные неотложные контрмеры являются эффективными по величине предотвращаемой дозы облучения, но одновременно дорогостоящими и дискомфортными для населения. Они требуют значительных организационных усилий для своей реализации.

Укрытие населения в домах или специальных сооружениях имеет своей целью предотвращение прежде всего доз внешнего облучения, а при соответствующей герметизации – и внутреннего облучения, связанного с ингаляционным поступлением радиойода, а также осаждением газо-аэрозолей на открытых участках кожи.

При этом, если предотвращаемая при такой акции доза на все тело, щитовидную железу и кожу оказывается меньше чем 5 мЗв, 50 мГр и 100 мГр, соответственно, см. строку "Укрытие" в табл. 6.2, есть все основания отказаться от введения неотложной контрмеры – укрытия. С другой стороны, если расчеты показывают, что укрытие может обеспечить предотвращение доз на все тело, щитовидную железу и кожу, достигающих и превышающих 50 мЗв, 300 мГр и 500 мГр соответственно (уровень безусловной оправданности в строке Укрытие), то введение неотложных контрмер целесообразно.

Взап. инв. №	
Подп. и дата	
Инв. № подл.	

Изм.	Кол.уч	Лист	№ док.	Подп.	Дата

8590-ОВОС

Лист  
72

**Таблица 16 - Оценки предотвращаемых доз за первые 2 недели после максимальной проектной аварии на харьковской ИЯУ**

На все тело, мЗв	На щитовидную железу, Гр	На кожу, Гр
1,4	15,4	146

Как следует из приведенных в табл. 5.3 расчетных данных, только для кожи нижняя граница оправданности основных неотложных контрмер превышает при максимальной проектной аварии на харьковской ИЯУ. Поэтому необходимо запланировать основные неотложные меры по укрытию населения.

Так же необходимо планировать ограничение пребывания на открытом воздухе детей, ввиду того, что превышает нижняя граница оправданности.

Для снижения дозовой нагрузки на кожу на этой фазе аварии можно применить вместо укрытия целый ряд вспомогательных контрмер, для которых уровни вмешательства не вводятся:

- меры пылеподавления;
- частый обмыв дорожного полотна с твердым покрытием;
- предотвращение пыления обочин дорог и специальные ограничения для автотранспорта по съезду на обочины;
- специальный режим работы школ, детских садов, яслей;
- изменение режима работы лечебно-оздоровительных учреждений;
- перевод крупного рогатого скота с пастбищного на стойловое содержание;
- ограничение лесопользования, запрещение охоты и ловли рыбы в местных водоемах;
- другие контрмеры.

Согласно расчетам осуществление вспомогательных контрмер при таком уровне предотвращаемой дозы на кожу целесообразно вместо укрытия.

### Долговременные контрмеры

Согласно НРБУ-97 к долговременным контрмерам относятся:

- временное отселение;
- постоянное переселение;
- дезактивация территории и радиоактивно-загрязненных зданий и сооружений;
- ограничение потребления радиоактивно-загрязненной воды и продуктов питания на достаточно длительные сроки;

Инв. № подл.
Подп. и дата
Взаи. инв. №

Изм.	Кол.уч	Лист	№ док.	Подп.	Дата	<b>8590-ОВОС</b>	Лист
							73

- сельскохозяйственные и другие контрмеры, включая индустриально-технические.

Эти контрмеры вводятся:

- при получении надежного прогноза развития ситуации;
- наличия достаточных материально технических, транспортных, продовольственных и др. ресурсов;
- расчет соотношения "польза-ущерб" указывает на превышение пользы над ущербом;
- научно-техническая экспертиза показывает эффективность планируемых долговременных контрмер.

В НРБУ-97 введены нижние границы оправданности, безусловно оправданные уровни вмешательства и уровни действия для принятия решения о переселении и о временном отселении.

Временное отселение регламентируется параметрами предотвращаемой дозы, среднемесячной дозы в течение периода временного отселения и мощностью поглощенной дозы гамма-излучения на загрязненной территории, см. табл. 6.4 (НРБУ-97).

Применение временного отселения требует сочетания ряда особенностей и условий, вытекающих из прогноза динамики развития радиационной обстановки, приведенных в НРБУ-97, но мы их не упоминаем, так как наш прогноз возможного развития аварии на харьковской ИЯУ, см. последний столбец в табл. 6.4, указывает на отсутствие необходимости выполнения такой долговременной контрмеры, как временное отселение.

Столь малые значения величин границы оправданности, безусловно оправданных уровней вмешательства и уровней действия для принятия решения о временном отселении позволяют отказаться от введения упомянутых контрмер в случае возможной МПА на харьковской ИЯУ.

Также очевидно, что нет необходимости рассматривать условия выполнения контрмер об отселении, так как условия принятия этих контрмер выше, чем условия принятия контрмер на временное отселение.

Инв. № подл.	Подп. и дата	Взаш. инв. №					8590-ОВОС	Лист
			Изм.	Кол.уч	Лист	№ док.		Подп.





Общая мощность четвертичных глинистых отложений порядка 19,4-20,5м.

Неогеновые пески относятся, в основном, к мелким разностям.

По своим физико-механическим свойствам и генетическим признакам вся пройденная толща грунтов разделяется по предварительным данным инженерно-геологических изысканий на следующие инженерно-геологические элементы:

tg - ИГЭ-1а – насыпной грунт: суглинок, песок, стр. мусор слежавшийся, мощностью 0,5м;

h1ГГ- ИГЭ-1 – почвенно-растительный слой, мощностью 0,3-0,8м;

e1Kd2- ИГЭ-2 – суглинок лессовидный красно-буро-коричневый, твердый, мощностью 0,4-0,5м;

e1Kd1- ИГЭ-3 – глина красновато-бурая твердая, мощностью 1,8-2,5м;

dv,vd11dn- ИГЭ-4 – суглинок коричнево-бурый, твердый, мощностью 0,0-1,4м;

dv,vd11dn- ИГЭ-5 – суглинок светло-красно-бурый, твердый, мощностью 1,2-2,3м;

e1zv- ИГЭ-6 – глина темно-красновато-бурая, твердая, мощностью 3,7-6,6м;

dv,vd11- ИГЭ-7 – суглинок красновато-бурый, твердый, мощностью 0,0-1,5м;

e11b- ИГЭ-8 – глина красновато-бурая, трещиноватая, твердая, мощностью 4,0м;

dv,vd11- ИГЭ-9 – глина буро-коричневая, твердая, мощностью 0,8-1,5м;

e1mz- ИГЭ-10 – суглинок буро-коричневый твердый, мощностью 1,4-2,0м;

dv,vdpa- ИГЭ-11 – суглинок серый, твердый, мощностью 1,0м;

dv,vdpa - ИГЭ-12 – супесь серая твердая, мощностью 0,0-1,5м;

alN<sub>2</sub><sup>1</sup>iv- ИГЭ-13 – песок мелкий желтый, охристо-желтый, маловлажный, пройденной мощностью 1,5-1,8м.

Глины, в основном, проявляют набухающие свойства и относятся к слабонабухающим, с давлением набухания близким к 3кгс/см<sup>2</sup>.

Суглинистые отложения проявляют просадочные свойства с начальным просадочным давлением, превышающим бытовое давление, т.е. территорию можно рассматривать как относящуюся к I типу грунтовых условий по просадочности.

Загрязнение геологической среды не происходит, т.к. выполнены все необходимые мероприятия по недопущению такого загрязнения, а именно подземная часть здания устраивается из двух оболочек тяжелого армированного бетона с металлическим экраном между ними.

#### 5.4 Почвенный покров.

По почвенному и растительному покрову данная территория относится к черноземам.

Инв. № подл.	Взап. инв. №	Подп. и дата							Лист
			Изм.	Кол.уч	Лист	№ док.	Подп.	Дата	
8590-ОВОС									





## 5.5. Водная среда

### Защита подземных вод

Гидрогеологические условия района характеризуются наличием аллювиального водоносного горизонта, заключенного в глинах трещиноватых. Грунтовые воды встречены на глубинах 10,90-13,36м. Установившийся уровень грунтовых вод на глубине 9,05-12,0м.

Участок расположен ближе к водораздельному плато. Первый от поверхности водоносный горизонт, который может быть использоваться населением, относится к полтавско-берекскому водоносному горизонту, перекрытому значительной мощности глинистых отложений и относящейся к защищенному. Поэтому прямого воздействия на них от проектной деятельности не ожидается.

Результаты лабораторных исследований грунтов, физических и прочностных параметров подробно рассмотрены в томе «Инженерно-геологические изыскания».

Под понятием естественной защищенности подземных вод принимается совокупность гидрогеологических условий, обеспечивающая предотвращение проникновения в водоносные горизонты и комплексы загрязненных веществ с поверхности. Для грунтовых вод естественная защищенность оценивается наличием и мощностью в кровле слабопроницаемых и непроницаемых отложений.

В нарушенных гидрологических условиях формирование качества подземных вод происходит под воздействием ряда техногенных и природных факторов.

Для мониторинга за состоянием подземных вод проектом предусматривается устройство наблюдательных скважин.

### Дождевая канализация

Выпуск дождевых вод с крыши здания предусмотрен на отмостку шириной 0,5 м.

Водоотвод решен открытым способом по спланированной под проектные отметки поверхности и лоткам проезда с дальнейшим сбросом за пределы участка.

Инв. № подл.	Подп. и дата	Взлп. инв. №							Лист
			8590-ОВОС						
Изм.	Кол.уч	Лист	№ док.	Подп.	Дата				





фундаментальных научных исследованиях, а также для подготовки специалистов в области использования ядерной энергии.

В районе проектируемого строительства в непосредственной близости к ИЯУ, не имеется жилой застройки, ближайший жилой дом находится на расстоянии около 400 м.

Принятые в проекте природоохранные мероприятия предотвращают отрицательное воздействие на условия жизни населения и в целом на окружающую социальную среду.

Памятников архитектуры, истории и культуры в районе размещения объекта нет.

Для обеспечения радиационной безопасности при эксплуатации ИЯУ проводится комплекс организационных и технических мероприятий.

Ежегодно проводится систематический контроль радиационной обстановки на территории пром.площадки и жилого района Пятихатки.

Еженедельно в 13 точках контроля производится измерение мощности дозы излучения аккредитованной лабораторией ННЦ ХФТИ и местной Санэпидемстанцией.

Все полученные значения предполагаются на уровне естественного радиационного фона.

Исходя из вышеизложенного проектируемая ИЯУ на территории ННЦ ХФТИ по ул. Академической, 1 в г. Харькове не ухудшит условий жизни местного населения.

## **7 ОЦЕНКА ВОЗДЕЙСТВИЯ ПЛАНИРУЕМОЙ ДЕЯТЕЛЬНОСТИ НА ОКРУЖАЮЩУЮ ТЕХНОГЕННУЮ СРЕДУ**

Заказчиком будут приняты мероприятия по осуществлению проектных решений в соответствии с нормами и правилами охраны окружающей среды и требований экологической безопасности на всех этапах строительства и эксплуатации.

Деятельность проектируемого объекта в ходе строительства и эксплуатации приведена ниже.

На геологическую среду - не влияет.

На атмосферный воздух - влияет. Влияние незначительное, концентрация загрязняющих веществ в атмосферном воздухе не превышает нормативов ПДК.

На поверхностные воды - не влияет.

На грунты - не влияет.

На социальную и техногенную среду - не влияет.

Взлп. инв. №
Подп. и дата
Инв. № подл.

Изм.	Кол.уч	Лист	№ док.	Подп.	Дата	<b>8590-ОВОС</b>	Лист
							82

На микроклимат - не влияет.

На растительный и животный мир - не влияет.

## 8 КОМПЛЕКСНЫЕ МЕРОПРИЯТИЯ ПО ОБЕСПЕЧЕНИЮ НОРМАТИВНОГО СОСТОЯНИЯ ОКРУЖАЮЩЕЙ СРЕДЫ И ЭКОЛОГИЧЕСКОЙ БЕЗОПАСНОСТИ

Для обеспечения нормативного состояния окружающей природной среды и экологической безопасности, проектом предусмотрен ряд природоохранных мероприятий включающих в себя:

- мероприятия по охране воздушной среды;
- мероприятия по охране водной среды (поверхностные и подземные воды);
- мероприятия по охране грунтов.

Мероприятия по охране воздушного бассейна включают в себя использование современного оборудования очистки воздуха в здании ИЯУ.

Мероприятия по охране водной среды включает в себя надежное выполнение строительных конструкций подземной части здания ИЯУ и устройство наблюдательных скважин за состоянием грунтовых вод.

Мероприятия по охране грунтов от загрязнения контроль за состоянием грунтов в пределах и за границами СЗЗ.

Проектом реконструкции предусмотрено выполнение требований градостроительных, санитарно-гигиенических и экологических нормативных документов.

Для обеспечения радиационной безопасности при эксплуатации ИЯУ проводится комплекс организационных и технических мероприятий.

Организационные мероприятия:

- подготовка персонала к работе в радиационно-опасных условиях;
- периодические проверки знаний по радиационной безопасности;
- периодические инструктажи на рабочем месте (1 раз в квартал) ;
- вывешивание на всех входах в здание знаков радиационной опасности;
- установка запретного периода на вход в здании ускорителя и ПКС;
- вход в радиоактивную зону контролируемый и ограничен во времени, нормальное положение дверей входа - закрытое;
- вход в радиоактивную зону разрешается оператором ИЯУ и оформляется в журналах "Дозиметрические измерения", "Учет работ в радиоактивной зоне", "Оперативный журнал";
- постановка персонала ИЯУ на индивидуальный дозиметрический контроль;

Инв. № подл.	Подп. и дата	Взаи. инв. №							Лист
			8590-ОВОС						
Изм.	Кол.уч	Лист	№ док.	Подп.	Дата				



Зона действия вредных факторов находится в границах санитарной зоны площадки ННЦ ХФТИ.

Для наблюдения за состоянием подземных вод согласно Статьи 105 Водного кодекса Украины предусмотрено на площадке строительство наблюдательных скважин.

### Оценка риска влияния запланированной деятельности на окружающую среду.

Проектом предусмотрены риски влияния на атмосферу от работающей исследовательской ядерной установки на территории ННЦ ХФТИ.

Оценка риска выполняется в соответствии с Изменением 1 к ДБН ДБН А.2.2-1-2003 «Состав и содержание материалов оценки воздействия на окружающую среду (ОВОС) при проектировании зданий и сооружений».

На первом этапе устанавливается значение риска влияния работы ИЯУ по формуле для установления величины показателя прогнозируемого уровня техногенного риска:

$$R_{kj} = A \cdot e^{B \cdot e^{D_{kj}}}, \quad (1)$$

где  $R_{kj}$  - риск k-го этапа по j-ому компоненту окружающей природной среды, безразмерный; А, В – константы ( $A=4,99 \cdot 10^{-6}$ ,  $B=-7,557$ );  $D_{kj}$  – величина, которая устанавливается в соответствии k-го этапа расчета риска по j-ому компоненту, которая рассчитывается по формуле (2).

$$D_{kj} = -e^{I_{kj} - 1} \quad (2)$$

где  $I_{kj}$  – индекс загрязнения по j-ому компоненту окружающей среды (атмосферы, гидросферы, грунту) для k-го этапа расчета риска, безразмерный.

На втором этапе устанавливается риск влияния загрязняющего вещества на компоненты окружающей среды по формулам 1 и 2:

Результаты расчетов приведены в таблице 1.

Загрязняющий компонент	Первый этап		Второй этап		Оценка уровня риска
	$D_{kj}$	$R_{kj}$	$D_{kj}$	$R_{kj}$	
1	2	3	4	5	6
Атмосфера (j=1)					
Оксид азота, диоксид азота,	-0,472	$4,477 \cdot 10^{-8}$	-0,369	$2,685 \cdot 10^{-8}$	Приемлемый

Взаш. инв. №	Подп. и дата							Инв. № подл.	<b>8590-ОВОС</b>	Лист
		85								
Изм.	Кол.уч	Лист	№ док.	Подп.	Дата				Формат А4	

ОЗОН					
------	--	--	--	--	--

### Оценка риска планируемой деятельности для здоровья населения.

Оценка риска для здоровья населения от загрязнения атмосферного воздуха проводится по расчетам риска развития неканцерогенных и канцерогенных эффектов. Риск развития неканцерогенных эффектов определяется путем расчетов индекса опасности (НИ) согласно (1):

$$NI = \sum HQ_i, \quad (1)$$

где  $HQ_i$  – коэффициенты опасности для отдельных веществ, которые определяются согласно (2):

$$HQ_i = C_i / RfC_i, \quad (2)$$

где  $C_i$  – расчетная среднегодовая концентрация  $i$ -ого вещества, мг/м<sup>3</sup>;

$RfC_i$  – референтная (безопасная) концентрация  $i$ -ого вещества, мг/м<sup>3</sup>.

$HQ=1$  – граничная величина принятого риска.

Риск развития индивидуальных канцерогенных эффектов ( $ICR_i$ ) от веществ, которым присуще канцерогенное действие, рассчитывается соответственно (3):

$$ICR_i = C_i \times UR_i, \quad (3)$$

где  $C_i$  – согласно (2);  $UR_i$  – единичный канцерогенный риск  $i$ -ого вещества, мЗ/мг.

Канцерогенный риск при комбинированном действии нескольких канцерогенных веществ, загрязняющих атмосферу ( $CR_a$ ), определяется согласно (4):

$$CR_a = \sum ICR_i \quad (4)$$

где  $ICR_i$  – канцерогенный риск  $i$ -ого вещества.

Вещества выбрасываемые при работе ИЯУ не являются канцерогенными.

Результаты расчетов приведены в таблице 2.

Загрязняющий компонент	$HQ_i$ , мг.м <sup>3</sup>	НИ, мг.м <sup>3</sup>	Оценка уровня риска
1	2	3	6
Оксид азота	0,016	0,346	Приемлемый
Диоксид азота	0,145		
Озон	0,185		

Взв. инв. №	
Подп. и дата	
Инв. № подл.	

Изм.	Кол.уч	Лист	№ док.	Подп.	Дата	<b>8590-ОВОС</b>	Лист
							86







Сама площадка строительства является источником загрязнения, так как при перемещении и при вывозе песка и грунта возникает пыление. Расчет пыления при разгрузке и перемещении инертных материалов следующий:

$$M1 = (P1 * P2 * P3 * P4 * P5 * P6 * V * G * 1000000) / 3600, \text{ г/с,}$$

**P1** - весовая доля пылевой фракции в материале, P1=0,05;

**P2** - часть пыли (от всей массы пыли), которая переходит в аэрозоль, P2 =0,03;

**P3** - коэффициент, который учитывает местные метеорологические условия (по среднегодовой скорости ветра), P3=1,2;

**P4** - коэффициент учитывающий местные метеорологические условия, степень защищенности узла от внешних воздействий, условия пылеобразования P4=0,005;

**P5** - коэффициент учитывающий влажность материала, K5=0,8;

**P6** - коэффициент, учитывающий высоту пересыпки, K7=0,9;

**V** - коэффициент учитывающий высоту пересыпки, V= 0,7;

**G** - мощность узла пересыпки, м<sup>3</sup>/час, G=15 т/час.

$$M1 = (0,05 * 0,03 * 1,2 * 0,005 * 0,8 * 0,9 * 0,7 * 15 * 1000000) / 3600 = 0,0189 \text{ г/с}$$

Валовый выброс за год составит:

$$M_{\text{пыли}} = (M1 * T * 3600) / 1000000 = (0,0189 * 14894 * 3600) / 1000000 = 1,013 \text{ т/год}$$

Где, T - масса перемещенного грунта – 14894 т

Валовый годовой выброс представлен ниже:

Качественный и количественный состав выбросов

№ вещ.	Наименование загрязняющего вещества	ПДК вещества (ОБУВ), мг/мл			Класс опасности	Выброс т/год
		Максимальная разовая	Среднесуточная	ОБУВ		
1	Железа оксид	00,4	-	-	3	4,3x10 <sup>-4</sup>
2	Марганца оксид	0,01	0,001	-	2	4,7x10 <sup>-5</sup>
6	Пыль	0,3	0,1	-	3	1,013

Взв. инв. №	
Подп. и дата	
Инв. № подл.	

Изм.	Кол.уч	Лист	№ док.	Подп.	Дата	<b>8590-ОВОС</b>	Лист
							89

	Всего:					1,013
--	--------	--	--	--	--	-------

Инв. № подл.	Подп. и дата	Взаш. инв. №

Изм.	Кол.уч	Лист	№ док.	Подп.	Дата

8590-ОВОС

## 10 ЗАЯВЛЕНИЕ

### об экологических последствиях деятельности Исследовательской ядерной установки «Источник нейтронов, основанный на подкритической сборке управляемой линейным ускорителем электронов» в ННЦ ХФТИ по ул. Академической, 1 в г. Харькове

Источники информации, использованные при разработке материалов ОВОС, следующие:

- Техническое описание установок.
- Инструкция по охране труда и технике безопасности.
- Аварийный план мероприятий по ликвидации радиационных аварий и их последствий на линейных ускорителях электронов ННЦ ХФТИ.

Исследовательская ядерная установка (ИЯУ) располагается в строящемся железобетонном здании на территории ННЦ ХФТИ по ул. Академической, 1 в Киевском районе г. Харькова.

Функционально ИЯУ состоит из следующих основных систем:

- подкритической урановой сборки на тепловых нейтронах;
- комплекса экспериментального оборудования и аппаратуры для проведения прикладных и фундаментальных научных исследований с использованием получаемых нейтронов;
- нейтрон-образующей мишени для получения первичных (внешних) нейтронов, которая располагается внутри активной зоны подкритической сборки;
- линейного ускорителя электронов, работающего в импульсном режиме;
- системы транспортировки электронного пучка от ускорителя до нейтронообразующей мишени.

В состав ИЯУ входят: производственные здания и сооружения для размещения основного и технологического оборудования, а также персонала установки и исследовательских групп; инженерные системы, обеспечивающие функционирование установки в условиях нормальной эксплуатации и режиме проектных аварий; системы радиационной защиты и физической защиты ядерных и радиоактивных материалов.

Водоснабжение и канализация.

Сотрудники ИЯУ пользуются санитарно-бытовыми приборами института.

Оборотное водоснабжение.

Охлаждение мишеней ТВЭЛов и линейного ускорителя водяное по замкнутому кольцу (отдельные кольца охлаждения).

Дождевая канализация.

Инв. № подл.	Подп. и дата	Взаш. инв. №							Лист
			8590-ОВОС						
Изм.	Кол.уч	Лист	№ док.	Подп.	Дата				









6. Разработать лимит на размещение отходов в окружающую природную среду.
7. Получить разрешение на выбросы загрязняющих веществ в атмосферный воздух стационарными источниками.
8. Ежегодно производить оплату за загрязнение окружающей природной среды выбрасываемыми ингредиентами.

Заказчик:

Зам. Генерального директора  
ННЦ ХФТИ

Ген.проектировщик

Исполнительный директор  
ООО «ТЭП-Союз»

\_\_\_\_\_ И. М. Каранухов

\_\_\_\_\_ В. В. Квасильчук

Инв. № подл.	Подп. и дата	Взлп. инв. №					8590-ОВОС	Лист
								95
Изм.	Кол.уч	Лист	№ док.	Подп.	Дата			

## ПРИЛОЖЕНИЯ

У СП 3-	а
11 Щ	а
а т а Сз	а т а
У г С1	а т а
С1 -г 3-	а т а

Изм. Кол.уч Лист № док. Подп. Дата

8590-ОВОС

Лист

96

Формат А4

Копировал:

СОГЛАСОВАНО

\_\_\_\_\_

\_\_\_\_\_

\_\_\_\_\_

Должность

подпись

Ф. И. О.

М. П. « \_\_\_\_\_ » \_\_\_\_\_ г.

### ЗАЯВЛЕНИЕ О НАМЕРЕНИЯХ

1. Инвестор (заказчик) – ННЦ ХФТИ.

Почтовый и электронный адрес: г. Харьков, Киевский район, ул. Академическая, 1. Тел. 335-30-35.

Местоположение площадки строительства - г. Харьков, Киевский район, ул. Академическая, 1.

2. Характеристика деятельности (объекта) – Источник нейтронов, основанный на подкритической сборке управляемой линейным ускорителем электронов.

3. Технические и технологические данные:

Строящийся комплекс исследовательской ядерной установки (ИЯУ) «Источник нейтронов, основанный на подкритической сборке, управляемой линейным ускорителем электронов» предназначена для получения нейтронов и использования их в прикладных и фундаментальных научных исследованиях, а также для подготовки специалистов в области использования ядерной энергии.

Функционально ИЯУ состоит из следующих основных систем:

- подкритической урановой сборки на тепловых нейтронах;
- комплекса экспериментального оборудования и аппаратуры для проведения прикладных и фундаментальных научных исследований с использованием получаемых нейтронов;
- нейтрон-образующей мишени для получения первичных (внешних) нейтронов, которая располагается внутри активной зоны подкритической сборки;
- линейного ускорителя электронов, работающего в импульсном режиме;
- системы транспортировки электронного пучка от ускорителя до нейтрон-образующей мишени.

4. Социально - экономическая необходимость проектируемой деятельности - проведение научно-исследовательских работ.

5. Потребность в ресурсах при строительстве и эксплуатации:

Взап. инв. №	
Подп. и дата	
Инв. № подл.	

Изм.	Кол.уч	Лист	№ док.	Подп.	Дата

8590-ОВОС

Лист  
97

